

LORA：大型語言模型的低秩適配

EdwardHu* YelongShen* PhillipWallis
 ZeyuanAllen-ZhuYuanzhi Li Shean Wang Lu Wang
 WeizhuChen Microsoft Corporation {edwardhu, yeshe, ph
 wallis, zeyuana, yuanzhil, swang, luw, wzchen}
 @microsoft.com yuanzhil@andrew.cmu.edu (版本 2)

摘要

自然語言處理的一個重要範式是先在通用領域數據上進行大規模預訓練，然後再調適到特定任務或領域。隨著我們預訓練出更大的模型，重新訓練所有模型參數的完整微調變得愈來愈不可行。以 GPT-3 175B 為例——部署多個獨立的、各自微調的 175B 參數模型實例成本高得無法承受。我們提出 Low-Rank Adaptation (LoRA)，它凍結預訓練模型權重，並在 Transformer 架構的每一層注入可訓練的低秩分解矩陣，大幅降低下游任務所需的可訓練參數數量。與使用 Adam 微調的 GPT-3 175B 相比，LoRA 可將可訓練參數數量減少 1 萬倍，並將 GPU 記憶體需求減少 3 倍。儘管可訓練參數更少、訓練吞吐量更高，且與 adapters 不同地不增加額外的推理延遲，LoRA 在 RoBERTa、DeBERTa、GPT-2 和 GPT-3 的模型質量上表現相當或更好。我們也對語言模型適配中的秩缺陷進行了實證研究，闡明了 LoRA 的有效性。我們釋出了一個方便將 LoRA 與 PyTorch 模型整合的套件，並在 <https://github.com/microsoft/LoRA> 提供了 RoBERTa、DeBERTa 與 GPT-2 的實作與模型檢查點。

1 介紹

許多自然語言處理的應用都依賴將單一大型預訓練語言模型適配到多個下游應用。這類適配通常透過微調完成，會更新預訓練模型的所有參數。微調的主要缺點是新模型會包含與原模型相同數量的參數。由於更大的模型每隔數月就會被訓練出來，這對 GPT-2 (Radford 等) 或 RoBERTa large (Liu 等, 2019) 來說可能只是個“不便”，但對擁有 1750 億可訓練參數的 GPT-3 (Brown 等, 2020) 則成為一個關鍵的部署挑戰。¹

許多人試圖透過僅調整部分參數或為新任務學習外部模組來緩解此問題。這樣一來，對於每個任務，除了預訓練模型外，我們只需儲存與載入少量特定任務的參數，能在部署時大幅提升操作效率。然而，現有技術

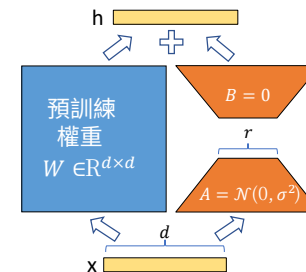


圖 1：我們的重參數化。我們只訓練 A 和 B 。

^{*}貢獻相等。⁰與 V1 相比，這個草稿包含更好的基線、在 GLUE 上的實驗，以及更多關於適配器延遲的內容。¹雖然 GPT-3 175B 在 few-shot 學習上已達到非凡的表現，但如附錄 A 所示，微調能顯著提升其性能。

常常透過增加模型深度而引入推論延遲 (Houlsby et al., 2019 ; Rebuffi et al., 2017) , 或縮減模型可用的序列長度 (Li & Liang, 2021 ; Lester et al., 2021 ; Hambardzumyan et al., 2020 ; Liu et al., 2021) (見第3節) 。更重要的是，這些方法經常無法達到微調基準的表現，造成效率與模型品質之間的權衡。

我們從 Li et al. (2018a); Aghajanyan et al. (2020) 得到啟發，這些研究顯示學到的過度參數化模型實際上存在於一個低內在維度上。我們假設模型調整期間權重的變化也具有低「內在秩」，因此提出了**Low-Rank Adaptation (LoRA)** 方法。LoRA 允許我們間接訓練神經網路中的某些密集層，方法是優化這些密集層在調整期間權重變化的秩分解矩陣，同時保持預訓練權重凍結，如圖 1 所示。以 GPT-3 175B 為例，我們顯示即使完整秩 (即圖 1 中的 d) 高達 12,288，非常低的秩 (即圖 1 中的 r 可為一或二) 也足夠，這使得 LoRA 在儲存與計算上都很有效率。

LoRA 具備數項關鍵優勢。

- 已預訓練的模型可以被共用並用來為不同任務構建多個小型 LoRA 模組。我們可以凍結共用模型，並透過替換圖 1 中的矩陣 A 和 B 來有效地切換任務，從而大幅減少儲存需求與任務切換成本。
- LoRA 使訓練更有效率，並在使用自適應優化器時將硬體進入門檻降低最多達 3 倍，因為我們不需要為大多數參數計算梯度或維護優化器狀態。取而代之的，我們只優化注入的、遠小得多的低秩矩陣。
- 我們簡單的線性設計允許在部署時將可訓練矩陣與凍結權重合併，相較於完全微調的模型不會引入推理延遲，這是由設計所決定的。
- LoRA 與許多既有方法相互正交，且可與其中多數方法結合，例如 prefix-tuning。我們在附錄 E 提供了一個範例。

術語與慣例 我們經常參考 Transformer 架構並使用其維度的慣用術語。我們將 Transformer 層的輸入與輸出維度大小稱為 d_{model} 。我們使用 W_q 、 W_k 、 W_v 和 W_o 來指代自注意力模組中的 query/key/value/output 投影矩陣。 W 或 W_0 指的是預訓練權重矩陣，而 ΔW 則指其在調適過程中的累積梯度更新。我們使用 r 來表示 LoRA 模組的秩。我們遵循 (Vaswani et al., 2017; Brown et al., 2020) 所設定的慣例，並使用 Adam (Loshchilov & Hutter, 2019; Kingma & Ba, 2017) 進行模型優化，Transformer 的 MLP 前饋維度為 $d_{ffn} = 4 \times d_{model}$ 。

2 問題陳述

雖然我們的提議對訓練目標保持中立，但我們以語言模型作為主要的動機性案例。以下簡要說明語言建模問題，特別說明在給定任務特定提示時條件機率的最大化。

假設我們有一個以 Φ 為參數的預訓練自回歸語言模型 $P_\Phi(y|x)$ 。例如， $P_\Phi(y|x)$ 可以是基於 Transformer 架構 (Vaswani et al., 2017) 的通用多任務學習器，如 GPT (Radford et al., b ; Brown et al., 2020)。考慮將此預訓練模型調整到下游的條件式文本生成任務，例如摘要、機器閱讀理解 (MRC) 及自然語言到 SQL (NL2SQL)。每個下游任務都由上下文—目標對的訓練資料集表示： $\mathcal{Z} = \{(x_i, y_i)\}_{i=1..N_{\mathcal{Z}}}$ ，其中 x_i 與 y_i 都是字元 (token) 序列。例如，在 NL2SQL 中， x_i 是自然語言查詢，而 y_i 是對應的 SQL 指令；在摘要任務中， x_i 是文章內容，而 y_i 是其摘要。

在完全微調 (full fine-tuning) 期間，模型以預訓練權重 Φ_0 作為初始化，並透過反覆沿著梯度更新以最大化條件語言模型目標，最終更新為 $\Phi_0 + \Delta\Phi$ ：

$$\max_{\Phi} \sum_{(x,y) \in \mathcal{Z}} \sum_{t=1}^{|y|} \log(P_{\Phi}(y_t|x, y_{<t})) \quad (1)$$

完全微調的一個主要缺點是，對於每個下游任務，我們都會學習一組不同的參數 $\Delta\Phi$ ，其維度 $|\Delta\Phi|$ 等於 $|\Phi_0|$ 。因此，如果預訓練模型很大（例如具有 $|\Phi_0| \approx 175\text{Billion}$ 的 GPT-3），儲存與部署多個獨立的微調模型實例會很有挑戰，甚至可能不可行。

在本文中，我們採用更具參數效率的方法，其中專案特定的參數增量 $\Delta\Phi = \Delta\Phi(\Theta)$ 進一步由一組更小規模的參數 Θ 與 $|\Theta| \ll |\Phi_0|$ 編碼。尋找 $\Delta\Phi$ 的任務因此變為在 Θ 上進行優化：

$$\max_{\Theta} \sum_{(x,y) \in \mathcal{Z}} \sum_{t=1}^{|y|} \log(p_{\Phi_0 + \Delta\Phi(\Theta)}(y_t|x, y_{<t})) \quad (2)$$

在接下來的章節中，我們建議使用低秩表示來編碼 $\Delta\Phi$ ，此表示在計算與記憶體上皆有效率。當預訓練模型為 GPT-3 175B 時，可訓練參數的數量 $|\Theta|$ 最少可達 $|\Phi_0|$ 的 0.01%。

3. 現有解決方案真的不夠好嗎？

我們要解決的問題並非什麼新議題。自從遷移學習誕生以來，已有數十篇工作試圖讓模型調整在參數與計算上更為高效。有關一些知名工作的綜述，請見第6節。以語言模型為例，關於高效調整主要有兩種顯著策略：增加 adapter 層 (Houlsby et al., 2019 ; Rebuffi et al., 2017 ; Pfeiffer et al., 2021 ; Ruckl'e et al., 2020) 或優化某些形式的輸入層啟用值 (Li & Liang, 2021 ; Lester et al., 2021 ; Hambardzumyan et al., 2020 ; Liu et al., 2021)。然而，這兩種策略在大規模且對延遲敏感的生產環境中都有其侷限性。

AdapterLayersIntroduce InferenceLatency Adapter 有許多變體。我們聚焦於 Houlsby et al. (2019) 的原始設計（每個 Transformer 區塊有兩個 adapter 層）以及 Lin et al. (2020) 的較近期設計（每個區塊只有一個，但額外增加一個 LayerNorm (Ba et al., 2016)）。雖然可以透過剪枝或利用多任務設定 (Ruckl'e et al., 2020 ; Pfeiffer et al., 2021) 來降低整體延遲，但並沒有直接的方法可以繞過 adapter 層所增加的額外計算。這看似不是問題，因為 adapter 層通常設計為參數很少（有時僅為原始模型的 <1%），藉由小的瓶頸維度來限制它們可能增加的 FLOPs。然而，大型神經網路仰賴硬體並行性來維持低延遲，而 adapter 層必須序列化處理。在線推理情境中（批次大小通常只有一筆）這會造成差異。在沒有模型並行的通用情況下，例如在單一 GPU 上執行 GPT-2 (Radford et al., b) medium 的推理，即使使用非常小的瓶頸維度，採用 adapter 仍會明顯增加延遲（見表 1）。

當我們需要像 Shoeybi et al. (2020) ; Lepikhin et al. (2020) 那樣對模型進行分片時，這個問題會更嚴重，因為額外的深度會需要更多同步 GPU 操作（例如 AllReduce 與 Broadcast），除非我們將 adapter 參數重複儲存多次。

直接優化提示詞很困難 另一個方向，如 prefix tuning (Li & Liang, 2021) 所示，面臨不同的挑戰。我們觀察到 prefix tuning 難以優化，且其效能隨可訓練參數的變動呈現非單調變化，這與原始論文的觀察一致。更根本的是，保留序列長度的一部分以供調適，必然會減少可用來處理下游任務的序列長度，我們懷疑這使得調整提示詞的效能不如其他方法。我們將把任務效能的研究延後到第 5 節。

批次大小	32	16	1
序列長度	512	256	128
$ \Theta $	0.5M	11M	11M
微調/LORA	1449.4 ± 0.8	338.0 ± 0.6	19.8 ± 2.7
Adapter ^L	1482.0 ± 1.0 (+2.2%)	354.8 ± 0.5 (+5.0%)	23.9 ± 2.1 (+20.7%)
Adapter ^H	1492.2 ± 1.0 (+3.0%)	366.3 ± 0.5 (+8.4%)	25.8 ± 2.2 (+30.3%)

表 1：在 GPT-2 medium 上單次前向傳播的推論延遲，以毫秒為單位，平均自 100 次試驗。我們使用 NVIDIA Quadro RTX8000。「 $|\Theta|$ 」表示 adapter 層中可訓練參數的數量。Adapter^L 和 Adapter^H 是兩種 adapter 微調的變體，我們在第 5.1 節中描述。在線、短序列長度的情境下，adapter 層引入的推論延遲可能相當顯著。完整研究見附錄 B。

4 我們的方法

我們說明 LoRA 的簡單設計及其實際效益。此處所述的原則適用於深度學習模型中的任意密集層，但在實驗中我們僅針對 Transformer 語言模型中的特定權重進行討論，作為主要的應用情境。

4.1 低秩參數化的更新矩陣

神經網路包含許多執行矩陣乘法的密集層。這些層中的權重矩陣通常具有滿秩。當要適應特定任務時，Aghajanyan 等人（2020）指出，預訓練語言模型具有低「內在維度」，即便將參數隨機投影到較小的子空間仍能有效學習。受此啟發，我們假設在微調期間權重的更新也具有低「內在秩」。對於預訓練的權重矩陣 $W_0 \in \mathbb{R}^{d \times k}$ ，我們透過以低秩分解 $W_0 + \Delta W = W_0 + BA$ 表示來約束其更新，其中 $B \in \mathbb{R}^{d \times r}, A \in \mathbb{R}^{r \times k}$ ，以及秩為 $r \ll \min(d, k)$ 。在訓練時， W_0 固定不接收梯度更新，而 A 和 B 則包含可訓練參數。注意 W_0 和 $\Delta W = BA$ 都與相同輸入相乘，且它們的輸出向量按座標逐項相加。對於 $h = W_0x$ ，我們修改後的前向傳播為：

$$h = W_0x + \Delta Wx = W_0x + BAx \quad (3)$$

我們在圖 1 中說明了我們的重參數化。我們對 A 使用隨機高斯初始化，對 B 則置為零，因此在訓練開始時 $\Delta W = BA$ 為零。接著我們將 ΔWx 按 r^α 比例縮放，其中 α 是 r 中的一個常數。在使用 Adam 進行優化時，如果我們適當地縮放初始化，調整 α 與調整學習率大致相同。因此，我們僅將 α 設為我們嘗試的第一個 r ，而不對其進行調整。這種縮放有助於在改變 r 時減少重新調整超參數的需求 (Yang & Hu, 2021)。

完全微調的一般化。一種更一般形式的微調允許訓練預訓練參數的子集。LoRA 更進一步，不要求在調整期間累積的梯度更新對權重矩陣具有全秩。這表示當把 LoRA 應用到所有權重矩陣並訓練所有偏置時²，透過將 LoRA 的秩 r 設為預訓練權重矩陣的秩，我們大致可以恢復全量微調的表現。換句話說，當我們增加可訓練參數數量³時，訓練 LoRA 大致會收斂到訓練原始模型，而基於 adapter 的方法則收斂到一個 MLP，基於 prefix 的方法則會收斂到無法處理較長輸入序列的模型。

不增加額外推理延遲。當部署於生產環境時，我們可以明確地計算並儲存 $W = W_0 + BA$ ，然後像平常一樣進行推理。請注意， W_0 與 BA 都位於 $\mathbb{R}^{d \times k}$ 中。當我們需要切換到另一個下游任務時，可以透過先減去 BA 再加上不同的 $B'A'$ 來還原 W_0 ，這是一個快速的操作，且幾乎不增加記憶體負擔。關鍵是，這

²與權重相比，它們代表了可忽略不計的參數數量。³在適應困難任務時這是不可避免的。

保證在推理時，我們與經微調的模型相比，從架構上不會引入任何額外延遲。

4.2 將 LoRA 應用到 Transformer

原則上，我們可以將 LoRA 應用到神經網路中任一子集的權重矩陣，以減少可訓練參數的數量。在 Transformer 結構中，自注意力模組有四個權重矩陣 (W_q, W_k, W_v, W_o)，而 MLP 模組有兩個。我們將 W_q (或 W_k, W_v) 視為一個維度為 $d_{model} \times d_{model}$ 的單一矩陣，儘管輸出維度通常會被切分成多個注意力頭。為了簡化與參數效率，我們在下游任務中僅研究只調整注意力權重並凍結 MLP 模組（因此在下游任務中不會訓練它們）。我們在第 7.1 節進一步研究在 Transformer 中調整不同類型注意力權重矩陣的影響。至於調整 MLP 層、LayerNorm 層與偏差項的實證研究，留待未來工作。

實用的好處與限制。最顯著的好處來自於記憶體與儲存使用量的減少。對於以 Adam 訓練的大型 Transformer，若 $r \ll d_{model}$ 我們可以將 VRAM 使用量降低最多 $2/3$ ，因為不需要為已凍結的參數儲存優化器狀態。在 GPT-3 175B 上，我們將訓練期間的 VRAM 消耗從 1.2TB 降至 350GB。採用 $r = 4$ 且僅調整 query 與 value 投影矩陣時，檢查點大小大約減少 $10,000 \times$ (從 350GB 到 35MB)⁴。這使我們能以顯著較少的 GPU 進行訓練，並避免 I/O 瓶頸。另一個好處是部署時切換任務的成本大幅降低，只需交換 LoRA 權重而非所有參數。這允許在將預訓練權重儲存在 VRAM 的機器上，隨時替換多個客製化模型。我們也觀察到在 GPT-3 175B 上的訓練速度比完整微調快約 25%⁵，因為大多數參數不需要計算梯度。

LoRA 也有其侷限性。例如，若選擇將 A 和 B 吸收進 W 以消除額外的推論延遲，要在單次前向傳播中對不同任務且具有不同 A 和 B 的輸入進行批次處理並不容易。當延遲不是關鍵時，則可以不合併權重，而是動態為批次中的樣本選擇要使用的 LoRA 模組。

5 實證實驗

我們在 RoBERTa (Liu et al., 2019)、DeBERTa (He et al., 2021) 和 GPT-2 (Radford et al., b) 上評估 LoRA 在下游任務的表現，並在擴展至 GPT-3 175B (Brown et al., 2020) 前進行測試。我們的實驗涵蓋廣泛任務，從自然語言理解 (NLU) 到生成 (NLG)。具體而言，我們在 RoBERTa 和 DeBERTa 上評估 GLUE (Wang et al., 2019) 基準。對於 GPT-2，我們遵循 Li & Liang (2021) 的設置以便直接比較，並在 GPT-3 的大規模實驗中加入 WikiSQL (Zhong et al., 2017) (自然語言到 SQL 查詢) 與 SAMSum (Gliwa et al., 2019) (對話摘要)。更多資料集細節見附錄 C。我們所有實驗均使用 NVIDIA Tesla V100。

5.1 基準線

為了與其他基準線進行廣泛比較，我們重現先前工作的設定，並在可能的情況下重用它們報告的數據。然而，這也表示某些基準線可能只出現在特定實驗中。

Fine-Tuning(FT) 是常見的適應方法。微調時，模型以預訓練的權重與偏差為初始值，所有模型參數都會進行梯度更新。一個簡單的變體是僅更新部分層、凍結其他層。我們包含了先前工作 (Li & Liang, 2021) 在 GPT-2 上報導的一個此類基線，只調整最後兩層 (FT^{Top2})。

⁴我們在部署時仍然需要 350GB 的模型；不過，儲存 100 個調適後的模型只需要 $350\text{GB} + 35\text{MB} * 100 \approx 354\text{GB}$ ，而非 $100 * 350\text{GB} \approx 35\text{TB}$ 。⁵對於 GPT-3 175B，完整微調的訓練吞吐量是每台 V100 GPU 每秒 32.5 個 token；在使用相同數量的權重分片進行模型並行時，LoRA 的吞吐量是每台 V100 GPU 每秒 43.1 個 token。

模型與方法	# 可訓練 參數	MNLI SST-2 MRPC CoLA				QNLI	QQP	RTE	STS-B 平均
		MNLI	SST-2	MRPC	CoLA	QNLI	QQP	RTE	STS-B 平均
RoB _{base} (FT)*	125.0M	87.6	94.8	90.2	63.6	92.8	91.9	78.7	91.2 86.4
RoB _{base} (BitFit)*	0.1M	84.7	93.7	92.7	62.0	91.8	84.0	81.5	90.8 85.2
RoB _{base} (Adpt ^D)*	0.3M	87.1 _{±0.1}	94.2 _{±1.1}	88.5 _{±1.1}	60.8 _{±4.4}	93.1 _{±1.1}	90.2 _{±0.0}	71.5 _{±2.7}	89.7 _{±3.3} 84.4
RoB _{base} (Adpt ^D)*	0.9M	87.3 _{±1.1}	94.7 _{±3.3}	88.4 _{±1.1}	62.6 _{±9.9}	93.0 _{±2.2}	90.6 _{±0.0}	75.9 _{±2.2}	90.3 _{±1.1} 85.4
RoB _{base} (LoRA)	0.3M	87.5 _{±3.3}	95.1 _{±2.2}	89.7 _{±7.7}	63.4 _{±1.2}	93.3 _{±3.3}	90.8 _{±1.1}	86.6 _{±7.7}	91.5 _{±2.2} 87.2
RoB _{large} (FT)*	355.0M	90.2	96.4	90.9	68.0	94.7	92.2	86.6	92.4 88.9
RoB _{large} (LoRA)	0.8M	90.6 _{±2.2}	96.2 _{±5.5}	90.9 _{±1.2}	68.2 _{±1.9}	94.9 _{±3.3}	91.6 _{±1.1}	87.4 _{±2.5}	92.6 _{±2.2} 89.0
RoB _{large} (Adpt ^P)†	3.0M	90.2 _{±3.3}	96.1 _{±3.3}	90.2 _{±7.7}	68.3 _{±1.0}	94.8 _{±2.2}	91.9 _{±1.1}	83.8 _{±2.9}	92.1 _{±7.7} 88.4
RoB _{large} (Adpt ^P)†	0.8M	90.5 _{±3.3}	96.6 _{±2.2}	89.7 _{±1.2}	67.8 _{±2.5}	94.8 _{±3.3}	91.7 _{±2.2}	80.1 _{±2.9}	91.9 _{±4.4} 87.9
RoB _{large} (Adpt ^H)†	6.0M	89.9 _{±5.5}	96.2 _{±3.3}	88.7 _{±2.9}	66.5 _{±4.4}	94.7 _{±2.2}	92.1 _{±1.1}	83.4 _{±1.1}	91.0 _{±1.7} 87.8
RoB _{large} (Adpt ^H)†	0.8M	90.3 _{±3.3}	96.3 _{±5.5}	87.7 _{±1.7}	66.3 _{±2.0}	94.7 _{±2.2}	91.5 _{±1.1}	72.9 _{±2.9}	91.5 _{±5.5} 86.4
RoB _{large} (LoRA)†	0.8M	90.6 _{±2.2}	96.2 _{±5.5}	90.2 _{±1.0}	68.2 _{±1.9}	94.8 _{±3.3}	91.6 _{±2.2}	85.2 _{±1.1}	92.3 _{±5.5} 88.6
DeB _{XXL} (FT)*	1500.0M	91.8	97.2	92.0	72.0	96.0	92.7	93.9	92.9 91.1
DeB _{XXL} (LoRA)	4.7M	91.9 _{±2.2}	96.9 _{±2.2}	92.6 _{±6.6}	72.4 _{±1.1}	96.0 _{±1.1}	92.9 _{±1.1}	94.9 _{±4.4}	93.0 _{±2.2} 91.3

Table 2: RoBERTa_{base}, RoBERTa_{large}, and DeBERTa_{XXL} 使用不同的調適方法在 GLUE 基準上的表現。我們報告 MNLI 的整體 (matched 與 mismatched) 準確率、CoLA 的 Matthew 相關係數、STS-B 的 Pearson 相關係數，以及其他任務的準確率。所有指標皆以數值越高越佳。* 表示來自先前工作的已發表數字。† 表示在與 Houlsby 等人 (2019) 類似的設定中執行的實驗，以便進行公平比較。

Bias-only or BitFit 是一個基線方法，我們僅訓練偏置向量而將其他所有參數凍結。近期也有研究同樣的基線 (BitFit, Zaken et al., 2021)。

Prefix-embedding tuning (PreEmbed) 會在輸入標記中插入特殊標記。這些特殊標記具有可訓練的詞嵌入，通常不在模型詞彙表中。放置這些標記的位置會影響效能。我們專注於「前綴」 (prefixing)，即將這些標記置於 prompt 之前，以及「中綴」 (infixing)，即附加於 prompt 之後；兩者皆在 Li & Liang (2021) 中討論。我們使用 l_p (對應 l_i) 表示前綴 (對應中綴) 標記的數量。可訓練參數的數量為 $|\Theta| = d_{model} \times (l_p + l_i)$ 。

Prefix-layer tuning (PreLayer) 是對前綴嵌入微調的一種擴展。與僅學習某些特殊標記的字詞嵌入 (或等價地，嵌入層之後的激活) 不同，我們學習每一個 Transformer 層之後的激活。先前層計算出的激活會被可訓練的激活簡單取代。最終可訓練參數的數量為 $|\Theta| = L \times d_{model} \times (l_p + l_i)$ ，其中 L 是 Transformer 層的數量。

Adapter tuning 如 Houlsby 等 (2019) 所提出，在自注意力模組 (和 MLP 模組) 與隨後的殘差連接之間插入 adapter 層。adapter 層包含兩個帶偏置的全連接層，中間有一個非線性函數。我們將這個原始設計稱為 **Adapter^H**。最近，Lin 等 (2020) 提出了一種更高效的設計，僅在 MLP 模組之後且在 LayerNorm 之後應用 adapter 層。我們稱之為 **Adapter^L**。這與 Pfeiffer 等 (2021) 提出的另一種設計非常相似，我們稱之為 **Adapter^P**。我們也包含另一個基準 AdapterDrop (Ruckl'e 等, 2020)，其透過丟棄部分 adapter 層以提高效率 (**Adapter^D**)。我們在可能的情況下引用先前工作的數據，以最大化比較的基準數量；這些在第一欄帶星號 (*) 的列中。

^ 在所有情況下，我們有

$|\Theta| = L_{Adpt} \times (2 \times d_{model} \times r + r + d_{model}) + 2 \times L_{LN} \times d_{model}$ ，其中 L_{Adpt} 是 adapter 層的數量，且 L_{LN} 為可訓練的 LayerNorm 數量 (例如，在 Adapter^L 中)。

LoRA 在現有權重矩陣旁並行加入可訓練的低秩分解矩陣對。如第4.2節所述，為簡化起見，我們在大多數實驗中僅將 LoRA 應用於 W_q 和 W_v 。可訓練參數的數量由秩 r 與原始權重的形狀決定：

^ $|\Theta| = 2 \times L_{LoRA} \times d_{model} \times r$ ，其中 L_{LoRA} 是我們應用 LoRA 的權重矩陣數量。

模型與方法	# 可訓練參數	E2E 自然語言生成挑戰				
		BLEU	NIST	MET	ROUGE-L	CIDEr
GPT-2 M (FT)*	354.92M	68.2	8.62	46.2	71.0	2.47
GPT-2 M (Adapter ^L)*	0.37M	66.3	8.41	45.0	69.8	2.40
GPT-2 M (Adapter ^L)*	11.09M	68.9	8.71	46.1	71.3	2.47
GPT-2 M (Adapter ^H)	11.09M	$67.3_{\pm.6}$	$8.50_{\pm.07}$	$46.0_{\pm.2}$	$70.7_{\pm.2}$	$2.44_{\pm.01}$
GPT-2 M (FT ^{Top2})*	25.19M	68.1	8.59	46.0	70.8	2.41
GPT-2 M (PreLayer)*	0.35M	69.7	8.81	46.1	71.4	2.49
GPT-2 M (LoRA)	0.35M	70.4_{±.1}	8.85_{±.02}	46.8_{±.2}	71.8_{±.1}	2.53_{±.02}
GPT-2 L (微調) *	774.03M	68.5	8.78	46.0	69.9	2.45
GPT-2 L (Adapter ^L)	0.88M	$69.1_{\pm.1}$	$8.68_{\pm.03}$	$46.3_{\pm.0}$	$71.4_{\pm.2}$	2.49_{±.0}
GPT-2 L (Adapter ^L)	23.00M	$68.9_{\pm.3}$	$8.70_{\pm.04}$	$46.1_{\pm.1}$	$71.3_{\pm.2}$	$2.45_{\pm.02}$
GPT-2 L (PreLayer)*	0.77M	70.3	8.85	46.2	71.7	2.47
GPT-2 L (LoRA)	0.77M	70.4_{±.1}	8.89_{±.02}	46.8_{±.2}	72.0_{±.2}	$2.47_{\pm.02}$

表 3：GPT-2 中型 (M) 與大型 (L) 在 E2E NLG 挑戰中採用不同調適方法的結果。對於所有指標，數值越高越好。LoRA 在可比較或更少可訓練參數的情況下，優於數個基線。我們展示了自行執行實驗的信賴區間。* 表示先前研究中發表的數值。

5.2 ROBERTA BASE/LARGE

RoBERTa (Liu et al., 2019) 優化了最初由 BERT (Devlin et al., 2019a) 提出的預訓練流程，並在未增加太多可訓練參數的情況下提升了後者的任務性能。儘管近年來在像 GLUE 基準 (Wang et al., 2019) 等 NLP 排行榜上已被更大規模的模型超越，RoBERTa 仍因其規模而在實務上保持競爭力並廣受使用。我們從 HuggingFace Transformers 庫 (Wolf et al., 2020) 取得預訓練的 RoBERTa base (125M) 與 RoBERTa large (355M)，並在 GLUE 基準的任務上評估不同高效適配方法的表現。我們也根據其設定複現 Houlsby et al. (2019) 和 Pfeiffer et al. (2021)。為了確保公平比較，我們在將 LoRA 與 adapters 比較時對評估方式做了兩項關鍵更動。首先，對所有任務使用相同的批次大小，並以序列長度128來匹配 adapter 的基線。其次，對 MRPC、RTE 和 STS-B，模型初始化為預訓練模型，而非已經適配至 MNLI 的模型（如微調基線所用）。遵循 Houlsby et al. (2019) 更嚴格設定的實驗以 † 標註。結果呈現在表2（上方三個部分）。超參數詳情請見附錄 D.1。

5.3 DeBERTa XXL

DeBERTa (He 等, 2021) 是 BERT 的較新變體，在更大規模的資料上進行訓練，並在 GLUE (Wang 等, 2019) 和 SuperGLUE (Wang 等, 2020) 等基準上表現非常具有競爭力。我們評估 LoRA 是否仍能匹配在 GLUE 上完全微調的 DeBERTa XXL (1.5B) 的性能。結果呈現在表 2 (下半部)。有關使用之超參數的詳細資訊，請參見附錄 D.2。

5.4 GPT-2 MEDIUM/LARGE

在展示了 LoRA 在 NLU 任務上可以成為與完整微調相競爭的替代方案後，我們希望回答 LoRA 在 NLG 模型（例如 GPT-2 medium 與 large (Radford 等, b)）上是否仍然具優勢。我們的實驗設定儘可能與 Li & Liang (2021) 保持一致以便直接比較。由於篇幅限制，本節僅呈現我們在 E2E NLG Challenge (表 3) 上的結果。WebNLG (Gardent 等, 2017) 與 DART (Nan 等, 2020) 的結果請見附錄第 F.1 節。我們在附錄第 D.3 節列出所使用的超參數清單。

模型與方法	# 可訓練的 WikiSQL 參數	準確率 (%)	MNLI-m	SAMSum
			準確率 (%)	R1/R2/RL
GPT-3 (微調)	175,255.8M	73.8	89.5	52.0/28.0/44.5
GPT-3 (BitFit)	14.2M	71.3	91.0	51.3/27.4/43.5
GPT-3 (預嵌入)	3.2M	63.1	88.6	48.3/24.2/40.5
GPT-3 (預層)	20.2M	70.1	89.5	50.8/27.3/43.5
GPT-3 (Adapter ^H)	7.1M	71.9	89.8	53.0/28.9/44.8
GPT-3 (Adapter ^H)	40.1M	73.2	91.5	53.2/29.0/45.1
GPT-3 (LoRA)	4.7M	73.4	91.7	53.8/29.8/45.9
GPT-3 (LoRA)	37.7M	74.0	91.6	53.4/29.2/45.1

表 4：在 GPT-3 175B 上不同調整方法的表現。我們報告了 WikiSQL 的邏輯形式驗證準確率、MultiNLI-matched 的驗證準確率，以及 SAMSum 的 Rouge-1/2/L。LoRA 的表現優於先前方法，包括完整微調。WikiSQL 的結果波動約為 $\pm 0.5\%$ ，MNLI-m 約為 $\pm 0.1\%$ ，SAMSum 在三個指標上約為 $\pm 0.2/\pm 0.2/\pm 0.1$ 。

5.5 擴展到 GPT-3 175B

作為對 LoRA 的最後壓力測試，我們將模型規模擴展至具有 1750 億參數的 GPT-3。由於訓練成本高昂，我們僅報告每個任務在不同隨機種子下的典型標準差，而非為每一項結果列出標準差。所使用超參數的詳細資訊請見附錄第 D.4 節。

如表 4 所示，LoRA 在三個資料集上都達到或超過了微調基準。注意，如圖 2 所示，並非所有方法在增加可訓練參數後都會單調受益。我們觀察到當使用超過 256 個特殊標記進行前綴嵌入調整，或超過 32 個特殊標記進行前綴層調整時，性能會顯著下降。這與 Li & Liang (2021) 的類似觀察相互印證。雖然對此現象進行深入研究超出本工作的範圍，但我們懷疑較多的特殊標記會使輸入分佈進一步偏離預訓練資料分佈。另在第 F.3 節中，我們探討了不同調適方法在少量資料情境下的表現。

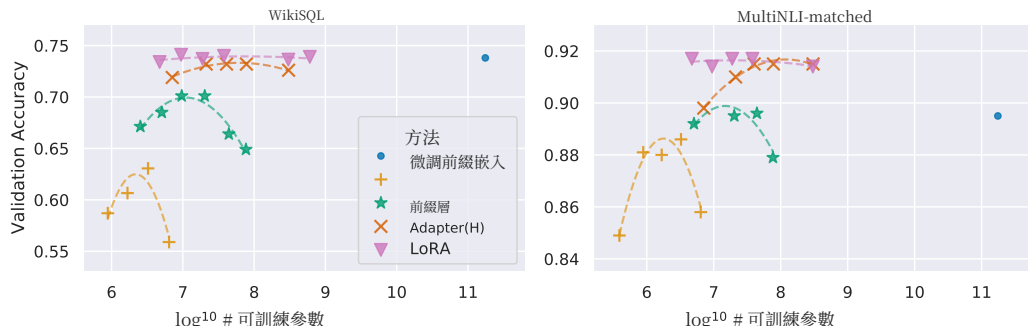


圖 2：GPT-3 175B 在 WikiSQL 與 MNLI-matched 上，驗證準確率與多種調適方法可訓練參數數量的關係。LoRA 展現出較佳的可擴展性與任務表現。有關圖中資料點的更多詳細資訊，請參閱第 F.2 節。

6 相關工作

Transformer 語言模型。 Transformer (Vaswani et al., 2017) 是一種大量使用自注意力的序列到序列架構。Radford et al. (a) 將其應用於自回歸語言建模，透過堆疊 Transformer 解碼器。自那時起，基於 Transformer 的語言模型主導了自然語言處理，並在許多任務上達到最先進的成果。隨著 BERT (Devlin et al., 2019b) 與 GPT-2 (Radford et al., b) 的出現，一種新範式興起——兩者都是大型 Transformer 語言

模型，於大量文本上訓練——在先於通用領域資料的預訓練後，再對任務特定資料進行微調，相較於直接在任務特定資料上訓練，可帶來顯著的效能提升。訓練更大的 Transformer 通常會帶來更好的表現，且仍是積極的研究方向。GPT-3 (Brown et al., 2020) 是迄今為止參數量最大的單一 Transformer 語言模型，具 1750 億個參數。

提示工程與微調。雖然 GPT-3 175B 能夠僅以少量額外的訓練範例調整其行為，但結果高度依賴輸入的提示 (Brown et al., 2020)。這就需要以經驗為基礎的撰寫與格式化提示的技術，以在期望任務上最大化模型的表現，這被稱為提示工程或提示駭客。微調則是將在通用領域上預訓練的模型重新訓練到特定任務 (Devlin et al. (2019b); Radford et al. (a))。其變體包括僅學習參數的子集 (Devlin et al. (2019b); Collobert & Weston (2008))，但實務上常常會重新訓練所有參數以最大化下游效能。然而，GPT-3 175B 的龐大規模使得以通常方式進行微調變得具有挑戰性，因為它會產生巨大的檢查點且進入門檻的硬體需求很高，因為其記憶體佔用與預訓練時相同。

Parameter-Efficient Adaptation.許多人提出在神經網路的既有層之間插入 *adapter* 層 (Houlsby et al., 2019 ; Rebuffi et al., 2017 ; Lin et al., 2020)。我們的方法使用類似的瓶頸結構，對權重更新施加低秩約束。關鍵的功能差異在於，我們學得的權重可以在推論期間與主要權重合併，因此不會增加任何延遲，而 adapter 層則沒有這個特性（見第3節）。一個當代的 adapter 擴展是 COMPACTER (Mahabadi et al., 2021)，其本質上是以預先設定的權重共享方案用 Kronecker 乘積來參數化 adapter 層。類似地，將 LoRA 與其他基於張量乘積的方法結合，可能進一步提升參數效率，這部分留待未來工作探討。近來也有許多工作提出優化輸入詞嵌入以取代微調，類似於 prompt engineering 的連續且可微分的泛化 (Li & Liang, 2021 ; Lester et al., 2021 ; Hambardzumyan et al., 2020 ; Liu et al., 2021)。我們在實驗部分包含了與 Li & Liang (2021) 的比較。然而，這類方法只能透過在提示中使用更多特殊標記來擴展，而當位置嵌入被學習時，這些標記會佔用可供任務標記使用的序列長度。

深度學習中的低階結構。低階結構在機器學習中非常常見。許多機器學習問題具有某種內在的低階結構 (Li et al., 2016; Cai et al., 2010; Li et al., 2018b; Grasedyck et al., 2013)。此外，已在許多深度學習任務中，特別是那些高度過參數化的神經網路，經訓練後所學得的網路會呈現低階性質 (Oymak et al., 2019)。一些先前的工作甚至在訓練原始神經網路時明確加入低階約束 (Sainath et al., 2013; Povey et al., 2018; Zhang et al., 2014; Jaderberg et al., 2014; Zhao et al., 2016; Khodak et al., 2021; Denil et al., 2014)；然而，據我們所知，這些工作中沒有一篇考慮對凍結模型進行低階更新以便適應下游任務。在理論文獻中，已知當底層概念類別具有某種低階結構時，神經網路的表現優於其他經典學習方法，包括對應的（有限寬度）神經切線核 (Allen-Zhu et al., 2019; Li & Liang, 2018; Ghorbani et al., 2020; Allen-Zhu & Li, 2019; Allen-Zhu & Li, 2020a)。Allen-Zhu & Li (2020b) 的另一項理論結果則表明低階適配對抗性訓練可能有用。總之，我們認為文獻充分支持我們所提出的低階適配更新的動機。

7 理解 低秩 更新

鑑於 LoRA 在實務上的優勢，我們希望進一步說明從下游任務學得的低秩調適 (low-rank adaptation) 之性質。請注意，低秩結構不僅降低了硬體門檻，讓我們能夠並行執行多個實驗，還能更容易解釋更新權重與預訓練權重之間的關聯。我們的研究重點放在 GPT-3 175B，上面我們達成了可訓練參數數量的最大縮減（最高達 $10,000\times$ ），且對任務效能沒有不良影響。

我們進行一系列實證研究以回答以下問題：1) 在參數預算限制下，應該在預訓練 Transformer 中微調哪些權重矩陣子集？

以最大化下游任務表現？2) 所謂的「最佳」適配矩陣 ΔW 真的存在秩虧嗎？如果是，實務上應該使用何種良好秩值？3) ΔW 與 W 之間有何關聯？ ΔW 是否與 W 高度相關？相比之下， ΔW 與 W 的量級差別有多大？

我們認為對於問題 (2) 和 (3) 的回答，能夠闡明使用預訓練語言模型於下游任務時的基本原則，這是自然語言處理領域的一個關鍵議題。

7.1 應該對 Transformer 的哪些權重矩陣應用 LoRA？

在參數預算有限的情況下，應該用 LoRA 調整哪種類型的權重以在下游任務上取得最佳表現？如第 4.2 節所述，我們僅考慮自注意力模組中的權重矩陣。我們在 GPT-3 175B 上設了一個 18M 的參數預算（若以 FP16 存儲約為 35MB），這相當於在所有 96 層中，若只調整一種類型的注意力權重則為 $r = 8$ ，若調整兩種類型則為 $r = 4$ 。結果如表 5 所示。

		可訓練參數數量 = 18M							
權重類型 排名 r		W_q	W_k	W_v	W_o	W_φ	W_k	W_q, W_v	W_q, W_k, W_v, W_o
WikiSQL ($\pm 0.5\%$)	8	70.4	70.0	73.0	73.2	71.4	73.7	73.7	73.7
MultiNLI ($\pm 0.1\%$)	91.0	90.8	91.0	91.3	91.3	91.3	91.3	91.3	91.7

表 5：在 GPT-3 中對不同類型的注意力權重應用 LoRA 並保持相同數量可訓練參數後，於 WikiSQL 和 MultiNLI 上的驗證準確率。同時調整 W_q 和 W_v 可獲得整體最佳表現。我們發現對於給定資料集，各隨機種子的標準差相當一致，並於第一欄報告。

請注意，將所有參數放在 ΔW_q 或 ΔW_k 中會導致性能顯著下降，而同時調整 W_q 和 W_v 則能得到最佳結果。這表示即使秩為四， ΔW 中也能捕捉到足夠的資訊，因此與其只用較高的秩去調整單一類型的權重，不如同時調整更多的權重矩陣。

7.2 對 LoRA 而言最佳的秩 r 是什麼？

我們將注意力轉向秩 r 對模型效能的影響。我們比較了調整 $\{W_q, W_v\}$ 、 $\{W_q, W_k, W_v, W_o\}$ ，以及僅調整 W_q 的情況。

		權重類型	$r = 1$	$r = 2$	$r = 4$	$r = 8$	$r = 64$
WikiSQL ($\pm 0.5\%$)	W_q	68.8	69.6	70.5	70.4	70.0	
	W_q, W_v	73.4	73.3	73.7	73.8	73.5	
	W_q, W_k, W_v, W_o	74.1	73.7	74.0	74.0	73.9	
MultiNLI ($\pm 0.1\%$)	W_q	90.7	90.9	91.1	90.7	90.7	
	W_q, W_v	91.3	91.4	91.3	91.6	91.4	
	W_q, W_k, W_v, W_o	91.2	91.7	91.7	91.5	91.4	

表 6：在 WikiSQL 和 MultiNLI 上使用不同秩 r 的驗證準確率。令我們驚訝的是，秩小到 1 就足以在這些資料集上調適 W_q 與 W_v ，而僅訓練 W_q 則需要更大的 r 。我們在 H.2 節對 GPT-2 進行了類似實驗。

表 6 顯示，令人驚訝的是，LoRA 在非常小的 r 下已能表現得具有競爭力（對 $\{W_q, W_v\}$ 的影響比單純對 W_q 更明顯）。這暗示更新矩陣 ΔW 可能具有非常小的「內在階數」。

⁶ 為了進一步支持這一發現，我們檢查不同 r 選擇及不同隨機種子所學到子空間的重疊。我們主張增加 r 並不會覆蓋更具意義的子空間，這表明低階適配矩陣就足夠了。

⁶ 然而，我們並不期待小型的 r 能適用於所有任務或資料集。考慮以下的思考實驗：若下游任務使用的語言與用於預訓練的語言不同，重新訓練整個模型（類似於具有 $r = d_{model}$ 的 LoRA）確實可能優於採用小型 r 的 LoRA。

不同之間的子空間相似性 r 。給定 $A_{r=8}$ 和 $A_{r=64}$ ，它們是使用秩為 $r = 8$ 與 64 的學得適配矩陣，並採用相同的預訓練模型，我們對其進行奇異值分解並得到右奇異單位矩陣 $U_{A_{r=8}}$ 與 $U_{A_{r=64}}^7$ 。我們希望回答：在 $U_{A_{r=8}}$ 中由前 i 個奇異向量所張成的子空間，有多少被包含在 $U_{A_{r=64}}$ (for $1 \leq j \leq 64$)？的前 j 個奇異向量所張成的子空間中？我們以基於 Grassmann 距離的正規化子空間相似性來衡量此量（詳見附錄 G 以獲得更形式化的討論）。

$$\phi(A_{r=8}, A_{r=64}, i, j) = \frac{\|U_{A_{r=8}}^{i\top} U_{A_{r=64}}^j\|_F^2}{\min(i, j)} \in [0, 1] \quad (4)$$

其中 $U_{A_{r=8}}^i$ 表示 $U_{A_{r=8}}$ 的欄位，對應於前 i 個奇異向量。 $\phi(\cdot)$ 的範圍為 $[0, 1]$ ，其中 1 代表子空間完全重疊，0 代表完全分離。關於當我們改變 i 和 j 時 ϕ 如何變化，見圖 3。因篇幅限制，我們僅檢視第 48 層（共 96 層）但如 H.1 節所示，結論對其他層也成立。

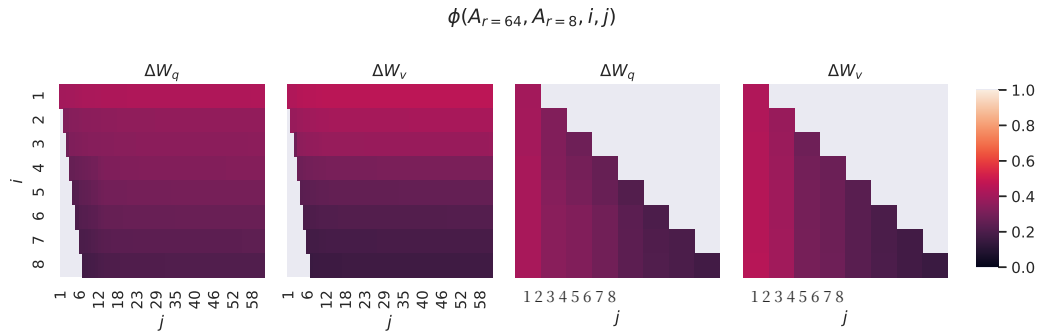


圖 3： $A_{r=8}$ 與 $A_{r=64}$ 的列向量之子空間相似性，對於 ΔW_q 與 ΔW_v 均適用。第三與第四張圖放大第一、二張圖的左下三角。 $r = 8$ 中的主要方向包含於 $r = 64$ ，反之亦然。

我們從圖 3 中得到一個重要觀察。

對應於最大奇異向量的方向在 $A_{r=8}$ 與 $A_{r=64}$ 之間有顯著重疊，而其他方向則沒有。具體而言， $A_{r=8}$ 與 ΔW_v 的 ΔW_v （分別）以及 $A_{r=64}$ 的 ΔW_q （分別）共享維度為 1 的子空間，正規化相似度為 > 0.5 ，這解釋了為何 $r = 1$ 在我們對 GPT-3 的下游任務中表現相當良好。

由於 $A_{r=8}$ 和 $A_{r=64}$ 都是使用相同的預訓練模型學得，圖 3 顯示 $A_{r=8}$ 和 $A_{r=64}$ 的頂端奇異向量方向是最有用的，而其他方向很可能主要包含訓練過程中累積的大部分隨機雜訊。因此，適配矩陣確實可以具有非常低的秩。

不同隨機種子之間的子空間相似性。我們進一步透過繪製兩個以不同隨機種子執行且使用 $r = 64$ 的運行之間的正規化子空間相似性來證實這一點，見圖 4。 ΔW_q 似乎比 ΔW_v 具有更高的「內在秩」，因為對於 ΔW_q ，兩次運行學到的共同奇異值方向更多，這與我們在表 6 中的實證觀察一致。作為比較，我們也繪製了兩個隨機高斯矩陣，它們彼此之間不共享任何共同的奇異值方向。

7.3 適配矩陣 ΔW 與 W 相比如何？

我們進一步探討 ΔW 與 W 之間的關係。特別是， ΔW 是否與 W 高度相關？（或者從數學上說， ΔW 是否大部分包含在 W 的主要奇異方向中？）此外，

請注意，可以對 B 與左奇異單位矩陣進行類似分析——我們在實驗中仍然採用 A 。

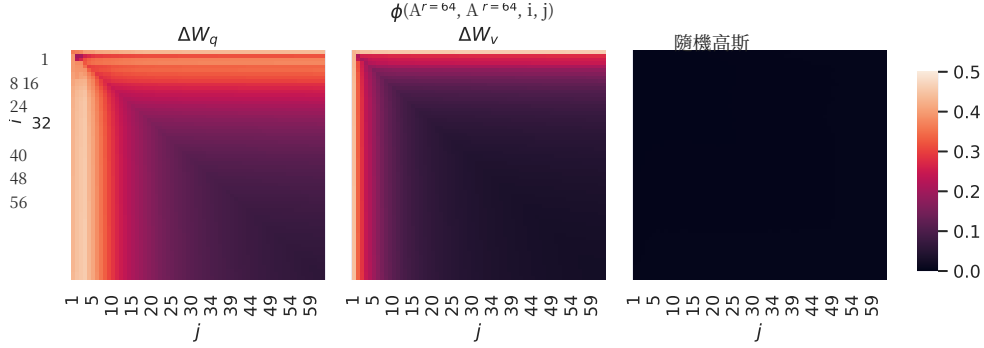


Figure 4: 左與中：在第48層中，對於 ΔW_q 與 ΔW_v ，來自兩個隨機種子的 $A_{r=64}$ 欄向量之間的規一化子空間相似度。右：兩個隨機高斯矩陣欄向量之間的相同熱圖。其他層見附錄 H.1。

與 W 中相應方向相比， ΔW 在多大程度上「較大」？這可以揭示調適預訓練語言模型的潛在機制。

為了回答這些問題，我們將 W 投影到 r 維的 ΔW 子空間，通過計算 $U^\top WV^\top$ ，其中 U/V 分別為 ΔW 的左／右奇異向量矩陣。然後，我們比較 $\|U^\top WV^\top\|_F$ 與 $\|W\|_F$ 之間的 Frobenius 範數。作為比較，我們也透過將 U, V 替換為 W 的前 r 個奇異向量或一個隨機矩陣的方式來計算 $\|U^\top WV^\top\|_F$ 。

	$r = 4$			$r = 64$		
	ΔW_q	W_q	Random	ΔW_q	W_q	Random
$\ U^\top W_q V^\top\ _F =$	0.32	21.67	0.02	1.90	37.71	0.33
$\ W_q\ _F = 61.95$		$\ \Delta W_q\ _F = 6.91$			$\ \Delta W_q\ _F = 3.57$	

表 7： $U^\top W_q V^\top$ 的 Frobenius 範數，其中 U 和 V 分別是 (1) ΔW_q 、(2) W_q 或 (3) 隨機矩陣的左/右前 r 個奇異向量方向。權重矩陣取自 GPT-3 的第 48 層。

我們從表 7 中得出幾項結論。首先， ΔW 與 W 的相關性比隨機矩陣更強，這表明 ΔW 放大了已存在於 W 中的某些特徵。其次， ΔW 並非簡單重複 W 的前導奇異方向，而是僅放大那些在 W 中未被強調的方向。第三，放大因子相當巨大： $21.5 \approx 6.91/0.32$ 用於 $r = 4$ 。關於為何 $r = 64$ 的放大因子較小，請參見 H.4 節。我們也在 H.3 節提供了視覺化說明，展示當包含來自 W_q 的更多前導奇異方向時相關性如何變化。這表明低秩調整矩陣可能放大那些在通用預訓練模型中已學到但未被強調的、對特定下游任務重要的特徵。

8 結論與未來工作

對巨型語言模型進行微調在硬體需求與為不同任務托管獨立實例所需的儲存/切換成本方面都高得令人望而卻步。我們提出 LoRA，一種高效的適配策略，既不增加推理延遲，也不縮短輸入序列長度，同時能保留高模型品質。重要的是，當作為服務部署時，它透過共享絕大多數模型參數，允許快速切換任務。雖然我們專注於 Transformer 語言模型，但所提出的原則一般也適用於任何具有密集層的神經網路。

未來工作有多個方向。1) LoRA 可以與其他高效的調適方法結合，可能帶來互補性的改進。2) 微調或 LoRA 背後的機制仍然不明確——在預訓練期間學到的特徵如何被轉換以在下游任務上表現良好？我們相信，相較於完整微調，LoRA 讓回答這個問題變得更可處理，

微調。3) 我們主要依賴經驗法則來選擇要對哪些權重矩陣應用 LoRA。是否有更有原則的方法來執行這個選擇？4) 最後， ΔW 的秩不滿足意味著 W 也可能為秩不滿足，這也可以成為未來工作的靈感來源。

參考文獻

- Armen Aghajanyan, Luke Zettlemoyer, and Sonal Gupta. Intrinsic Dimensionality Explains the Effectiveness of Language Model Fine-Tuning. *arXiv:2012.13255 [cs]*, December 2020. URL <http://arxiv.org/abs/2012.13255>.
- Zeyuan Allen-Zhu and Yuanzhi Li. What Can ResNet Learn Efficiently, Going Beyond Kernels? In *NeurIPS*, 2019. Full version available at <http://arxiv.org/abs/1905.10337>.
- Zeyuan Allen-Zhu and Yuanzhi Li. Backward feature correction: How deep learning performs deep learning. *arXiv preprint arXiv:2001.04413*, 2020a.
- Zeyuan Allen-Zhu and Yuanzhi Li. Feature purification: How adversarial training performs robust deep learning. *arXiv preprint arXiv:2005.10190*, 2020b.
- Zeyuan Allen-Zhu, Yuanzhi Li, and Zhao Song. A convergence theory for deep learning via over-parameterization. In *ICML*, 2019. Full version available at <http://arxiv.org/abs/1811.03962>.
- Jimmy Lei Ba, Jamie Ryan Kiros, and Geoffrey E. Hinton. Layer normalization, 2016.
- Tom B. Brown, Benjamin Mann, Nick Ryder, Melanie Subbiah, Jared Kaplan, Prafulla Dhariwal, Arvind Neelakantan, Pranav Shyam, Girish Sastry, Amanda Askell, Sandhini Agarwal, Ariel Herbert-Voss, Gretchen Krueger, Tom Henighan, Rewon Child, Aditya Ramesh, Daniel M. Ziegler, Jeffrey Wu, Clemens Winter, Christopher Hesse, Mark Chen, Eric Sigler, Mateusz Litwin, Scott Gray, Benjamin Chess, Jack Clark, Christopher Berner, Sam McCandlish, Alec Radford, Ilya Sutskever, and Dario Amodei. Language Models are Few-Shot Learners. *arXiv:2005.14165 [cs]*, July 2020. URL <http://arxiv.org/abs/2005.14165>.
- Jian-Feng Cai, Emmanuel J Candès, and Zuowei Shen. A singular value thresholding algorithm for matrix completion. *SIAM Journal on optimization*, 20(4):1956–1982, 2010.
- Daniel Cer, Mona Diab, Eneko Agirre, Inigo Lopez-Gazpio, and Lucia Specia. Semeval-2017 task 1: Semantic textual similarity multilingual and crosslingual focused evaluation. *Proceedings of the 11th International Workshop on Semantic Evaluation (SemEval-2017)*, 2017. doi: 10.18653/v1/s17-2001. URL <http://dx.doi.org/10.18653/v1/S17-2001>.
- Ronan Collobert and Jason Weston. A unified architecture for natural language processing: deep neural networks with multitask learning. In *Proceedings of the 25th international conference on Machine learning*, ICML '08, pp. 160–167, New York, NY, USA, July 2008. Association for Computing Machinery. ISBN 978-1-60558-205-4. doi: 10.1145/1390156.1390177. URL <https://doi.org/10.1145/1390156.1390177>.
- Misha Denil, Babak Shakibi, Laurent Dinh, Marc'Aurelio Ranzato, and Nando de Freitas. Predicting parameters in deep learning, 2014.
- Jacob Devlin, Ming-Wei Chang, Kenton Lee, and Kristina Toutanova. Bert: Pre-training of deep bidirectional transformers for language understanding, 2019a.
- Jacob Devlin, Ming-Wei Chang, Kenton Lee, and Kristina Toutanova. BERT: Pre-training of Deep Bidirectional Transformers for Language Understanding. *arXiv:1810.04805 [cs]*, May 2019b. URL <http://arxiv.org/abs/1810.04805>. arXiv: 1810.04805.
- William B. Dolan and Chris Brockett. Automatically constructing a corpus of sentential paraphrases. In *Proceedings of the Third International Workshop on Paraphrasing (IWP2005)*, 2005. URL <https://aclanthology.org/I05-5002>.
- Claire Gardent, Anastasia Shimorina, Shashi Narayan, and Laura Perez-Beltrachini. The webnlg challenge: Generating text from rdf data. In *Proceedings of the 10th International Conference on Natural Language Generation*, pp. 124–133, 2017.

-
- Behrooz Ghorbani, Song Mei, Theodor Misiakiewicz, and Andrea Montanari. When do neural networks outperform kernel methods? *arXiv preprint arXiv:2006.13409*, 2020.
- Bogdan Gliwa, Iwona Mochol, Maciej Bieseck, and Aleksander Wawer. Samsum corpus: A human-annotated dialogue dataset for abstractive summarization. *CoRR*, abs/1911.12237, 2019. URL <http://arxiv.org/abs/1911.12237>.
- Lars Grasedyck, Daniel Kressner, and Christine Tobler. A literature survey of low-rank tensor approximation techniques. *GAMM-Mitteilungen*, 36(1):53–78, 2013.
- Jihun Ham and Daniel D. Lee. Grassmann discriminant analysis: a unifying view on subspace-based learning. In *ICML*, pp. 376–383, 2008. URL <https://doi.org/10.1145/1390156.1390204>.
- Karen Hambardzumyan, Hrant Khachatrian, and Jonathan May. WARP: Word-level Adversarial ReProgramming. *arXiv:2101.00121 [cs]*, December 2020. URL <http://arxiv.org/abs/2101.00121>. arXiv: 2101.00121.
- Pengcheng He, Xiaodong Liu, Jianfeng Gao, and Weizhu Chen. Deberta: Decoding-enhanced bert with disentangled attention, 2021.
- Neil Houlsby, Andrei Giurgiu, Stanislaw Jastrzebski, Bruna Morrone, Quentin de Laroussilhe, Andrea Gesmundo, Mona Attariyan, and Sylvain Gelly. Parameter-Efficient Transfer Learning for NLP. *arXiv:1902.00751 [cs, stat]*, June 2019. URL <http://arxiv.org/abs/1902.00751>.
- Max Jaderberg, Andrea Vedaldi, and Andrew Zisserman. Speeding up convolutional neural networks with low rank expansions. *arXiv preprint arXiv:1405.3866*, 2014.
- Mikhail Khodak, Neil Tenenholz, Lester Mackey, and Nicolò Fusi. Initialization and regularization of factorized neural layers, 2021.
- Diederik P. Kingma and Jimmy Ba. Adam: A method for stochastic optimization, 2017.
- Dmitry Lepikhin, HyoukJoong Lee, Yuanzhong Xu, Dehao Chen, Orhan Firat, Yanping Huang, Maxim Krikun, Noam Shazeer, and Zhifeng Chen. Gshard: Scaling giant models with conditional computation and automatic sharding, 2020.
- Brian Lester, Rami Al-Rfou, and Noah Constant. The Power of Scale for Parameter-Efficient Prompt Tuning. *arXiv:2104.08691 [cs]*, April 2021. URL <http://arxiv.org/abs/2104.08691>. arXiv: 2104.08691.
- Chunyuan Li, Heerad Farkhoor, Rosanne Liu, and Jason Yosinski. Measuring the Intrinsic Dimension of Objective Landscapes. *arXiv:1804.08838 [cs, stat]*, April 2018a. URL <http://arxiv.org/abs/1804.08838>. arXiv: 1804.08838.
- Xiang Lisa Li and Percy Liang. Prefix-Tuning: Optimizing Continuous Prompts for Generation. *arXiv:2101.00190 [cs]*, January 2021. URL <http://arxiv.org/abs/2101.00190>.
- Yuanzhi Li and Yingyu Liang. Learning overparameterized neural networks via stochastic gradient descent on structured data. In *Advances in Neural Information Processing Systems*, 2018.
- Yuanzhi Li, Yingyu Liang, and Andrej Risteski. Recovery guarantee of weighted low-rank approximation via alternating minimization. In *International Conference on Machine Learning*, pp. 2358–2367. PMLR, 2016.
- Yuanzhi Li, Tengyu Ma, and Hongyang Zhang. Algorithmic regularization in over-parameterized matrix sensing and neural networks with quadratic activations. In *Conference On Learning Theory*, pp. 2–47. PMLR, 2018b.
- Zhaojiang Lin, Andrea Madotto, and Pascale Fung. Exploring versatile generative language model via parameter-efficient transfer learning. In *Findings of the Association for Computational Linguistics: EMNLP 2020*, pp. 441–459, Online, November 2020. Association for Computational Linguistics. doi: 10.18653/v1/2020.findings-emnlp.41. URL <https://aclanthology.org/2020.findings-emnlp.41>.

-
- Xiao Liu, Yanan Zheng, Zhengxiao Du, Ming Ding, Yujie Qian, Zhilin Yang, and Jie Tang. GPT Understands, Too. *arXiv:2103.10385 [cs]*, March 2021. URL <http://arxiv.org/abs/2103.10385>. arXiv: 2103.10385.
- Yinhan Liu, Myle Ott, Naman Goyal, Jingfei Du, Mandar Joshi, Danqi Chen, Omer Levy, Mike Lewis, Luke Zettlemoyer, and Veselin Stoyanov. Roberta: A robustly optimized bert pretraining approach, 2019.
- Ilya Loshchilov and Frank Hutter. Decoupled weight decay regularization. *arXiv preprint arXiv:1711.05101*, 2017.
- Ilya Loshchilov and Frank Hutter. Decoupled weight decay regularization, 2019.
- Rabeeh Karimi Mahabadi, James Henderson, and Sebastian Ruder. Compacter: Efficient low-rank hypercomplex adapter layers, 2021.
- Linyong Nan, Dragomir Radev, Rui Zhang, Amrit Rau, Abhinand Sivaprasad, Chiachun Hsieh, Xiangru Tang, Aadit Vyas, Neha Verma, Pranav Krishna, et al. Dart: Open-domain structured data record to text generation. *arXiv preprint arXiv:2007.02871*, 2020.
- Jekaterina Novikova, Ondřej Dušek, and Verena Rieser. The e2e dataset: New challenges for end-to-end generation. *arXiv preprint arXiv:1706.09254*, 2017.
- Samet Oymak, Zalan Fabian, Mingchen Li, and Mahdi Soltanolkotabi. Generalization guarantees for neural networks via harnessing the low-rank structure of the jacobian. *arXiv preprint arXiv:1906.05392*, 2019.
- Jonas Pfeiffer, Aishwarya Kamath, Andreas Rücklé, Kyunghyun Cho, and Iryna Gurevych. Adapter-fusion: Non-destructive task composition for transfer learning, 2021.
- Daniel Povey, Gaofeng Cheng, Yiming Wang, Ke Li, Hainan Xu, Mahsa Yarmohammadi, and Sanjeev Khudanpur. Semi-orthogonal low-rank matrix factorization for deep neural networks. In *Interspeech*, pp. 3743–3747, 2018.
- Alec Radford, Karthik Narasimhan, Tim Salimans, and Ilya Sutskever. Improving Language Understanding by Generative Pre-Training. pp. 12, a.
- Alec Radford, Jeffrey Wu, Rewon Child, David Luan, Dario Amodei, and Ilya Sutskever. Language Models are Unsupervised Multitask Learners. pp. 24, b.
- Pranav Rajpurkar, Robin Jia, and Percy Liang. Know what you don't know: Unanswerable questions for squad. *CoRR*, abs/1806.03822, 2018. URL <http://arxiv.org/abs/1806.03822>.
- Sylvestre-Alvise Rebuffi, Hakan Bilen, and Andrea Vedaldi. Learning multiple visual domains with residual adapters. *arXiv:1705.08045 [cs, stat]*, November 2017. URL <http://arxiv.org/abs/1705.08045>. arXiv: 1705.08045.
- Andreas Rücklé, Gregor Geigle, Max Glockner, Tilman Beck, Jonas Pfeiffer, Nils Reimers, and Iryna Gurevych. Adapterdrop: On the efficiency of adapters in transformers, 2020.
- Tara N Sainath, Brian Kingsbury, Vikas Sindhwani, Ebru Arisoy, and Bhuvana Ramabhadran. Low-rank matrix factorization for deep neural network training with high-dimensional output targets. In *2013 IEEE international conference on acoustics, speech and signal processing*, pp. 6655–6659. IEEE, 2013.
- Mohammad Shoeybi, Mostafa Patwary, Raul Puri, Patrick LeGresley, Jared Casper, and Bryan Catanzaro. Megatron-lm: Training multi-billion parameter language models using model parallelism, 2020.
- Richard Socher, Alex Perelygin, Jean Wu, Jason Chuang, Christopher D. Manning, Andrew Ng, and Christopher Potts. Recursive deep models for semantic compositionality over a sentiment treebank. In *Proceedings of the 2013 Conference on Empirical Methods in Natural Language Processing*, pp. 1631–1642, Seattle, Washington, USA, October 2013. Association for Computational Linguistics. URL <https://aclanthology.org/D13-1170>.

Ashish Vaswani, Noam Shazeer, Niki Parmar, Jakob Uszkoreit, Llion Jones, Aidan N Gomez, Łukasz Kaiser, and Illia Polosukhin. Attention is all you need. In *Proceedings of the 31st International Conference on Neural Information Processing Systems*, pp. 6000–6010, 2017.

Alex Wang, Amanpreet Singh, Julian Michael, Felix Hill, Omer Levy, and Samuel R. Bowman. Glue: A multi-task benchmark and analysis platform for natural language understanding, 2019.

Alex Wang, Yada Pruksachatkun, Nikita Nangia, Amanpreet Singh, Julian Michael, Felix Hill, Omer Levy, and Samuel R. Bowman. SuperGLUE: A stickier benchmark for general-purpose language understanding systems, 2020.

Alex Warstadt, Amanpreet Singh, and Samuel R Bowman. Neural network acceptability judgments. *arXiv preprint arXiv:1805.12471*, 2018.

Adina Williams, Nikita Nangia, and Samuel Bowman. A broad-coverage challenge corpus for sentence understanding through inference. In *Proceedings of the 2018 Conference of the North American Chapter of the Association for Computational Linguistics: Human Language Technologies, Volume 1 (Long Papers)*, pp. 1112–1122, New Orleans, Louisiana, June 2018. Association for Computational Linguistics. doi: 10.18653/v1/N18-1101. URL <https://www.aclweb.org/anthology/N18-1101>.

Thomas Wolf, Lysandre Debut, Victor Sanh, Julien Chaumond, Clement Delangue, Anthony Moi, Pierrick Cistac, Tim Rault, Rémi Louf, Morgan Funtowicz, Joe Davison, Sam Shleifer, Patrick von Platen, Clara Ma, Yacine Jernite, Julien Plu, Canwen Xu, Teven Le Scao, Sylvain Gugger, Mariama Drame, Quentin Lhoest, and Alexander M. Rush. Transformers: State-of-the-art natural language processing. In *Proceedings of the 2020 Conference on Empirical Methods in Natural Language Processing: System Demonstrations*, pp. 38–45, Online, October 2020. Association for Computational Linguistics. URL <https://www.aclweb.org/anthology/2020.emnlp-demos.6>.

Greg Yang and Edward J. Hu. Feature Learning in Infinite-Width Neural Networks. *arXiv:2011.14522 [cond-mat]*, May 2021. URL <http://arxiv.org/abs/2011.14522>. arXiv: 2011.14522.

Elad Ben Zaken, Shauli Ravfogel, and Yoav Goldberg. Bitfit: Simple parameter-efficient fine-tuning for transformer-based masked language-models, 2021.

Yu Zhang, Ekapol Chuangsawanich, and James Glass. Extracting deep neural network bottleneck features using low-rank matrix factorization. In *2014 IEEE international conference on acoustics, speech and signal processing (ICASSP)*, pp. 185–189. IEEE, 2014.

Yong Zhao, Jinyu Li, and Yifan Gong. Low-rank plus diagonal adaptation for deep neural networks. In *2016 IEEE International Conference on Acoustics, Speech and Signal Processing (ICASSP)*, pp. 5005–5009. IEEE, 2016.

Victor Zhong, Caiming Xiong, and Richard Socher. Seq2sql: Generating structured queries from natural language using reinforcement learning. *CoRR*, abs/1709.00103, 2017. URL <http://arxiv.org/abs/1709.00103>.

大型語言模型仍然需要參數更新

少量示例學習 (few-shot learning) 或提示工程在我們只有少數訓練樣本時非常有利。然而在實務上，針對對效能敏感的應用，我們通常能夠整理出數千或更多的訓練範例。如表 8 所示，與少量示例學習相比，微調在大與小資料集上都能顯著提升模型表現。我們採用 GPT-3 論文 (Brown 等，2020) 中 RTE 的 GPT-3 few-shot 結果。對於 MNLI-matched，我們每個類別使用兩個示範，總共六個上下文範例。

方法	MNLI-m (驗證準確率/%)	RTE (驗證準確率/%)
GPT-3 少樣本學習	40.6	69.0
GPT-3 微調	89.5	85.4

表 8：在 GPT-3 (Brown 等, 2020) 上，微調明顯優於少樣本學習。

B 推論延遲由 Adapter 層引入

Adapter layers 是以順序式方式加入預訓練模型的外部模組，而我們提出的 LoRA 則可視為以並行方式加入的外部模組。因此，adapter layers 必須額外與基礎模型一同計算，難免會引入額外延遲。如 Ruckl'e 等 (2020) 所指出，當模型批次大小和／或序列長度夠大以充分利用硬體並行性時，adapter layers 引入的延遲可被緩解。我們在 GPT-2 medium 上以類似的延遲研究證實了他們的觀察，並指出在某些情境下（尤其是批次大小很小的線上推論）所增加的延遲可能相當顯著。

我們在 NVIDIA Quadro RTX8000 上測量單次前向傳播的延遲，取 100 次試驗的平均值。我們變化輸入的批次大小、序列長度以及 adapter 的瓶頸維度 r 。我們測試兩種 adapter 設計：Houlsby 等人 (2019) 提出的原始設計，稱為 Adapter^H，以及 Lin 等人 (2020) 提出的較有效率的變體，稱為 Adapter^L。設計細節見第 5.1 節。我們在圖 5 中繪出相較於無 adapter 基線的延遲百分比減慢情況。

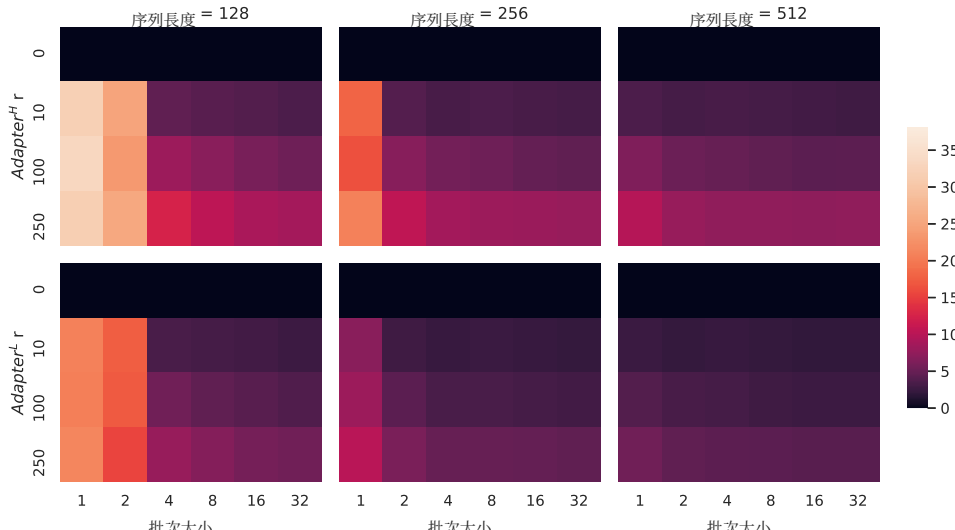


圖 5：相較於無 adapter ($r = 0$) 基線的推論延遲百分比減慢。上排顯示 Adapter^H 的結果，下排顯示 Adapter^L。較大的批次大小與序列長度有助於減輕延遲，但在線上、短序列長度的情境下，減慢幅度可高達 30% 以上。我們調整了色彩映射以提升可見度。

C 資料集詳情

GLUE Benchmark 是一個廣泛的自然語言理解任務集合。它包含 MNLI (推論，Williams 等人 (2018))、SST-2 (情感分析，Socher 等人 (2013))、MRPC (同義句檢測，Dolan & Brockett (2005))、CoLA (語言可接受性，Warstadt 等人 (2018))、QNLI (推論，Rajpurkar 等人 (2018))、QQP^s (問答)、RTE (推論)，

^s<https://quoradata.quora.com/First-Quora-Dataset-Release-Question-Pairs>

以及 STS-B (文本相似度，Cer 等人 (2017))。廣泛的涵蓋範圍使 GLUE benchmark 成為評估如 RoBERTa 和 DeBERTa 等 NLU 模型的標準指標。各個資料集在不同的寬鬆授權下釋出。

WikiSQL 由 Zhong 等人 (2017) 提出，包含 56,355/8,421 筆訓練/驗證 範例。該任務是從自然語言問題與表格結構生成 SQL 查詢。我們將上下文編碼為 $x = \{\text{table schema}, \text{query}\}$ ，目標編碼為 $y = \{\text{SQL}\}$ 。此資料集依 BSD 3-Clause License 授權釋出。

SAMSum 由 Gliwa 等人 (2019) 提出，包含 14,732/819 筆訓練/測試 範例。資料由兩人之間分階段的聊天對話及語言學家撰寫的摘要組成。我們將上下文編碼為 ”\n” 串接的發言，後接 ”\n\n”，目標編碼為 $y = \{\text{summary}\}$ 。此資料集依非商業授權釋出：Creative Commons BY-NC-ND 4.0。

E2E NLG Challenge 最早由 Novikova 等人 (2017) 提出，作為訓練端到端、資料驅動自然語言生成系統的資料集，並常用於資料到文字的評估。E2E 資料集包含約 42,000 筆訓練、4,600 筆驗證及 4,600 筆測試範例，來源於餐廳領域。每個當作輸入的來源表可能有多個參考。每個樣本輸入 (x, y) 由一連串的欄位-值對組成，並附有對應的自然語言參考文本。此資料集依 Creative Commons BY-NC-SA 4.0 授權釋出。

DART 是一個開放領域的資料到文字 (data-to-text) 資料集，詳見 Nan et al. (2020)。DART 的輸入以 ENTITY – RELATION – ENTITY 的三元組序列呈現。DART 總共有 82K 個範例，相較於 E2E，這是一個規模顯著更大且更複雜的資料到文字任務。該資料集以 MIT 授權釋出。

WebNLG 是另一個常用於資料到文字評估的資料集 (Gardent et al., 2017)。WebNLG 總共有 22K 個範例，包含 14 個不同類別，其中九個在訓練時可見。由於 14 個類別中有五個在訓練時不可見但出現在測試集中，評估通常依「可見」類別 (S)、「不可見」類別 (U) 與「全部」(A) 來區分。每個輸入範例以 SUBJECT – PROPERTY – OBJECT 的三元組序列表示。該資料集以 Creative Commons BY-NC-SA 4.0 授權釋出。

D HYPERPARAMETERS USED IN EXPERIMENTS

D.1 ROBERTA

我們使用 AdamW 並搭配線性學習率衰減排程進行訓練。我們在 LoRA 上搜尋學習率、訓練時代數與批次大小。依照 Liu et al. (2019)，在調整到 MRPC、RTE 與 STS-B 時，我們將 LoRA 模組以在 MNLI 上表現最好的檢查點初始化，而非通常的初始化；預訓練模型在所有任務中皆保持凍結。我們報告 5 個隨機種子的中位數；每次執行的結果取自最佳時代。為了與 Houlsby et al. (2019) 與 Pfeiffer et al. (2021) 的設定進行公平比較，我們將模型序列長度限制為 128 並對所有任務使用固定批次大小。重要的是，在調整到 MRPC、RTE 與 STS-B 時，我們是從預訓練的 RoBERTa large 模型開始，而非已經調整過 MNLI 的模型。使用此限制設定的執行以 † 標示。表 9 列出我們執行中所用的超參數。

D.2 DEBERTA

我們再次使用 AdamW 訓練，並採用線性學習率衰減排程。依照 He et al. (2021) 的做法，我們調整學習率、dropout 機率、warm-up 步數與批次大小。我們使用與 (He et al., 2021) 相同的模型序列長度以維持比較的公平性。依照 He et al. (2021) 的做法，在將 LoRA 模組調適到 MRPC、RTE 與 STS-B 時，我們以在 MNLI 上表現最佳的檢查點初始化 LoRA 模組，而非通常的初始化；預訓練模型在所有任務中皆保持凍結。我們報告 5 個隨機種子結果的中位數；每次執行的結果取自最佳 epoch。用於我們實驗的超參數列於表 10。

方法	資料集	MNLI	SST-2	MRPC	CoLA	QNLI	QQP	RTE	STS-B
最佳化器			AdamW						
Warmup 比例			0.06						
學習率 排程			線性						
RoBERTa 基本模型 LoRA	批次大小	16	16	16	32	32	16	32	16
	訓練輪次 #	30	60	30	80	25	25	80	40
	學習率	5E-04	5E-04	4E-04	4E-04	4E-04	5E-04	5E-04	4E-04
	LoRA 設定	$r_q = r_v = 8$							
	LoRA α	8							
最大序列長度			512						
RoBERTa large LoRA	批次大小	4	4	4	4	4	4	8	8
	訓練輪數	10	10	20	20	10	20	20	30
	學習率	3E-04	4E-04	3E-04	2E-04	2E-04	3E-04	4E-04	2E-04
	LoRA 設定。	$r_q = r_v = 8$							
	LoRA α	16							
最大序列長度。			128	128	512	128	512	512	512
RoBERTa large Adpt ^P (3M)†	批次大小	4							
	# Epochs	10	10	20	20	10	20	20	10
	Learning Rate	3E-04	4E-04	3E-04	2E-04	2E-04	3E-04	4E-04	2E-04
	LoRA 設定	$r_q = r_v = 8$							
	LoRA α	16							
最大序列長度			128						
RoBERTa large Adpt ^P (0.8M)†	批次大小	32							
	# 訓練輪數	5	20	20	20	10	20	20	20
	學習率	3E-04	3E-04	3E-04	3E-04	3E-04	3E-04	3E-04	3E-04
	瓶頸 r	16							
	最大序列長度	128							
RoBERTa large Adpt ^H (6M)†	批次大小	32							
	訓練輪次數	10	5	10	10	5	20	20	10
	學習率	3E-05	3E-04						
	瓶頸 r	64							
	最大序列長度	128							
RoBERTa large Adpt ^H (0.8M)†	批次大小	32							
	訓練世代數	10	5	10	10	5	20	20	10
	學習率	3E-04	3E-04	3E-04	3E-04	3E-04	3E-04	3E-04	3E-04
	瓶頸 r	8							
	最大序列長度	128							

表 9：我們在 GLUE 基準上使用的 RoBERTa 超參數。

D.3 GPT-2

我們使用 AdamW (Loshchilov & Hutter, 2017) 並以線性學習率排程訓練所有 GPT-2 模型，訓練 5 個 epoch。批次大小、學習率與 beam search 的 beam 大小採用 Li & Liang (2021) 中所述。因此，我們也為 LoRA 調整上述超參數。我們報告 3 個隨機種子結果的平均值；每次執行的結果取自最佳 epoch。GPT-2 上 LoRA 使用的超參數列於表 11。其他基準所用的參數，請參閱 Li & Liang (2021)。

D.4 GPT-3

對於所有 GPT-3 的實驗，我們使用 AdamW (Loshchilov & Hutter, 2017) 訓練 2 個 epoch，批次大小為 128 範例，weight decay 因子為 0.1。我們對序列長度採用 384 用於

方法	資料集	MNLI SST-2 MRPC CoLA				QNLI	QQP	RTE	STS-B
		最佳化器	AdamW	Warmup 比例	0.1	學習率排程	線性		
DeBERTa XXL LoRA	批次大小	8	8	32	4	6	8	4	4
	# 週期	5	16	30	10	8	11	11	10
	學習速率	1E-04	6E-05	2E-04	1E-04	1E-04	1E-04	2E-04	2E-04
	權重衰減	0	0.01	0.01	0	0.01	0.01	0.01	0.1
	CLS 隨機失活	0.15	0	0	0.1	0.1	0.2	0.2	0.2
	LoRA 設定				$r_q = r_v = 8$				
	LoRA α					8			
	最大序列長度	256	128	128	64	512	320	320	128

表 10 : DeBERTa XXL 在 GLUE 基準測試所包含任務的超參數。

資料集	E2E	WebNLG	DART
			訓練
最佳化器		AdamW	
權重衰減	0.01	0.01	0.0
丟棄率	0.1	0.1	0.0
批次大小		8	
# 時代		5	
預熱步驟		500	
學習率排程		線性	
標籤平滑	0.1	0.1	0.0
學習率		0.0002	
調整		$r_q = r_v = 4$	
LORA α		32	
束搜尋大小	推理		
		10	
長度懲罰	0.9	0.8	0.8
不重複 n-gram 大小		4	

表 11 : GPT-2 LoRA 在 E2E、WebNLG 與 DART 上的超參數。

WikiSQL (Zhong et al., 2017) 、768 用於 MNLI (Williams et al., 2018) ，以及 2048 用於 SAMSum (Gliwa et al., 2019) 。我們為所有方法與資料集組合調整學習率。關於所使用超參數的更多細節請見附錄 D.4。對於 prefix-embedding 調整，我們發現最佳的 l_p 和 l_i 分別為 256 與 8，合計 3.2M 個可訓練參數。我們使用 $l_p = 8$ 和 $l_i = 8$ 進行 prefix-layer 調整，擁有 20.2M 個可訓練參數，以取得整體最佳表現。我們為 LoRA 提供兩種參數預算：4.7M ($r_q = r_v = 1$ 或 $r_v = 2$) 以及 37.7M ($(r_q = r_v = 8$ 或 $r_q = r_k = r_v = r_o = 2$))。我們報告每次執行的最佳驗證表現。我們在 GPT-3 實驗中使用的訓練超參數列於表 12。

E 結合 LoRA 與前綴微調

LoRA 可以自然地與現有的基於前綴的方法結合。在本節中，我們評估了在 WikiSQL 與 MNLI 上，LoRA 與不同前綴微調變體的兩種結合方式。

LoRA+PrefixEmbed (LoRA+PE) 將 LoRA 與前綴嵌入微調結合，在此方法中我們插入 $l_p + l_i$ 被視為可訓練參數的特殊 token 嵌入。有關前綴嵌入微調的更多內容，請參見第 5.1 節。

LoRA+PrefixLayer (LoRA+PL) 結合了 LoRA 與 prefix-layer 微調。我們也插入了 $l_p + l_i$ 特殊標記；然而，我們並不是讓這些標記的隱含表示自然地演化——

超參數	微調	預嵌入	預層	BitFit	Adapter ^H	LoRA
最佳化器			AdamW			
批次大小			128			
# 紀元			2			
預熱代幣			250,000			
學習率排程			線性			
學習率	5.00E-06	5.00E-04	1.00E-04	1.6E-03	1.00E-04	2.00E-04

表 12：用於不同 GPT-3 調整方法的訓練超參數。在調整學習率後，我們對所有資料集使用相同的超參數。

相反地，我們在每個 Transformer 區塊後都以一個與輸入無關的向量取代它們。因此，嵌入層與後續 Transformer 區塊的激活都被視為可訓練的參數。關於 prefix-layer 微調的更多內容，請參見第 5.1 節。

在表 15 中，我們展示了 LoRA+PE 與 LoRA+PL 在 WikiSQL 和 MultiNLI 上的評估結果。首先，LoRA+PE 在 WikiSQL 上明顯優於 LoRA 與 prefix-embedding 調整，這表示 LoRA 與 prefix-embedding 調整在某種程度上是互補的。在 MultiNLI 上，LoRA+PE 的組合表現未必優於 LoRA，可能是因為單獨使用 LoRA 已能達到與人類基準相當的表現。其次，我們注意到即使有較多可訓練參數，LoRA+PL 的表現仍略遜於 LoRA。我們將此歸因於 prefix-layer 調整對學習率的選擇非常敏感，從而使 LoRA 權重在 LoRA+PL 中的優化變得更困難。

F 額外的實驗結果

F.1 在 GPT-2 上的額外實驗

我們也依照 Li & Liang (2021) 的設定，在 DART (Nan et al., 2020) 和 WebNLG (Gardent et al., 2017) 上重複實驗。結果如表 13 所示。與第 5 節報告的 E2E NLG Challenge 結果類似，當可訓練參數數量相同時，LoRA 的表現優於或至少與基於 prefix 的方法相當。

方法	# 可訓練 參數	DART		
		BLEU↑	MET↑	TER↓
GPT-2 中等版				
微調	354M	46.2	0.39	0.46
Adapter ^L	0.37M	42.4	0.36	0.48
Adapter ^L	11M	45.2	0.38	0.46
FT ^{Top2}	24M	41.0	0.34	0.56
偏好層	0.35M	46.4	0.38	0.46
LoRA	0.35M	47.1_{±.2}	0.39	0.46
GPT-2 Large				
微調	774M	47.0	0.39	0.46
Adapter ^L	0.88M	45.7 _{±.1}	0.38	0.46
Adapter ^L	23M	47.1 _{±.1}	0.39	0.45
PrefLayer	0.77M	46.7	0.38	0.45
LoRA	0.77M	47.5_{±.1}	0.39	0.45

表 13：在 DART 上使用不同調適方法的 GPT-2。所有調適方法的 MET 和 TER 變異小於 0.01。

方法	WebNLG								
	BLEU↑		MET↑		TER↓				
U	S	A	U	S	A	U	S	A	
GPT-2 中型									
微調 (354M)	27.7	64.2	46.5	.30	.45	.38	.76	.33	.53
Adapter ^L (0.37M)	45.1	54.5	50.2	.36	.39	.38	.46	.40	.43
Adapter ^L (11M)	48.3	60.4	54.9	.38	.43	.41	.45	.35	.39
FT ^{Top2} (24M)	18.9	53.6	36.0	.23	.38	.31	.99	.49	.72
Prefix (0.35M)	45.6	62.9	55.1	.38	.44	.41	.49	.35	.40
LoRA (0.35M)	46.7 _{±.4}	62.1 _{±.2}	55.3_{±.2}	.38	.44	.41	.46	.33	.39
GPT-2 Large									
微調 (774M)	43.1	65.3	55.5	.38	.46	.42	.53	.33	.42
Adapter ^L (0.88M)	49.8_{±.0}	61.1 _{±.0}	56.0 _{±.0}	.38	.43	.41	.44	.35	.39
Adapter ^L (23M)	49.2 _{±.1}	64.7 _{±.2}	57.7_{±.1}	.39	.46	.43	.46	.33	.39
Prefix (0.77M)	47.7	63.4	56.3	.39	.45	.42	.48	.34	.40
LoRA (0.77M)	48.4 _{±.3}	64.0 _{±.3}	57.0 _{±.1}	.39	.45	.42	.45	.32	.38

表14：在 WebNLG 上使用不同微調方法的 GPT-2。MET 和 TER 的變異在我們進行的所有實驗中均小於 0.01。“U”表示未見類別，“S”表示見過的類別，“A”表示 WebNLG 測試集中所有類別。

F.2 在 GPT-3 上的額外實驗

我們在表 15 中對 GPT-3 進行了額外實驗，採用不同的適應方法。重點在於找出效能與可訓練參數數量之間的權衡。

F.3 低資料情境

為了評估不同適應方法在低資料情境下的表現，我們從完整的 MNLI 訓練集隨機抽取 100、1k 和 10k 筆訓練範例，構成低資料 MNLI- n 任務。在表 16 中，我們展示了不同適應方法在 MNLI- n 上的表現。令我們驚訝的是，PrefixEmbed 和 PrefixLayer 在 MNLI-100 資料集上表現非常差，PrefixEmbed 的表現甚至只比隨機機率稍好 (37.6% 對 33.3%)。PrefixLayer 儘管優於 PrefixEmbed，但在 MNLI-100 上仍明顯不如 Fine-Tune 或 LoRA。隨著訓練範例數量增加，基於 prefix 的方法與 LoRA / Fine-tuning 之間的差距逐漸縮小，這可能表示在 GPT-3 上 prefix 類方法不適合低資料任務。LoRA 在 MNLI-100 和 MNLI-Full 上的表現優於微調，並且在 MNLI-1k 與 MNLI-10K 上考慮到由隨機種子造成的 (± 0.3) 變異後，表現相當。

不同適應方法在 MNLI- n 上的訓練超參數報告於表 17。我們在 MNLI-100 集上對 PrefixLayer 使用較小的學習率，因為在較大學習率下訓練損失無法下降。

G 測量子空間之間的相似性

在本文中，我們使用度量 $\phi(A, B, i, j) = \psi(U_A^i, U_B^j) = \frac{\|U_A^{i\top} U_B\|_F^2}{\min\{i, j\}}$ 來衡量兩個列正交矩陣 $U_A^i \in \mathbb{R}^{d \times i}$ 和 $U_B^j \in \mathbb{R}^{d \times j}$ 之間的子空間相似性，這兩個矩陣分別由 A 和 B 的左奇異矩陣取列所得到。我們指出，該相似性實際上是測量子空間距離的標準投影度量 (Projection Metric) 的相反量 Ham & Lee (2008)。

方法	超參數	# 可訓練參數數量	WikiSQL	MNLI-m
微調	-	175B	73.8	89.5
PrefixEmbed	$l_p = 32, l_i = 8$	0.4 M	55.9	84.9
	$l_p = 64, l_i = 8$	0.9 M	58.7	88.1
	$l_p = 128, l_i = 8$	1.7 M	60.6	88.0
	$l_p = 256, l_i = 8$	3.2 M	63.1	88.6
	$l_p = 512, l_i = 8$	6.4 M	55.9	85.8
PrefixLayer	$l_p = 2, l_i = 2$	5.1 M	68.5	89.2
	$l_p = 8, l_i = 0$	10.1 M	69.8	88.2
	$l_p = 8, l_i = 8$	20.2 M	70.1	89.5
	$l_p = 32, l_i = 4$	44.1 M	66.4	89.6
	$l_p = 64, l_i = 0$	76.1 M	64.9	87.9
Adapter ^H	$r = 1$	7.1 M	71.9	89.8
	$r = 4$	21.2 百萬	73.2	91.0
	$r = 8$	40.1 百萬	73.2	91.5
	$r = 16$	77.9 百萬	73.2	91.5
	$r = 64$	304.4 百萬	72.6	91.5
LoRA	$r_v = 2$	4.7 百萬	73.4	91.7
	$r_q = r_v = 1$	4.7 百萬	73.4	91.3
	$r_q = r_v = 2$	9.4 百萬	73.3	91.4
	$r_q = r_k = r_v = r_o = 1$	9.4 百萬	74.1	91.2
	$r_q = r_v = 4$	18.8 百萬	73.7	91.3
	$r_q = r_k = r_v = r_o = 2$	18.8 百萬	73.7	91.7
	$r_q = r_v = 8$	37.7 百萬	73.8	91.6
	$r_q = r_k = r_v = r_o = 4$	37.7 百萬	74.0	91.7
	$r_q = r_v = 64$	301.9 M	73.6	91.4
	$r_q = r_k = r_v = r_o = 64$	603.8 M	73.9	91.4
LoRA+PE	$r_q = r_v = 8, l_p = 8, l_i = 4$	37.8 M	75.0	91.4
	$r_q = r_v = 32, l_p = 8, l_i = 4$	151.1 M	75.9	91.1
	$r_q = r_v = 64, l_p = 8, l_i = 4$	302.1 M	76.2	91.3
LoRA+PL	$r_q = r_v = 8, l_p = 8, l_i = 4$	52.8 M	72.9	90.2

表 15：在 WikiSQL 與 MNLI 上不同微調方法的超參數分析。無論是 prefix-embedding 調整 (PrefixEmbed) 或 prefix-layer 調整 (PrefixLayer)，隨著可訓練參數數量增加其表現都會變差，而 LoRA 的表現則趨於穩定。效能以驗證準確率衡量。

方法	MNLI(m)-100	MNLI(m)-1k	MNLI(m)-10k	MNLI(m)-392K
GPT-3 (微調)	60.2	85.8	88.9	89.5
GPT-3 (PrefixEmbed)	37.6	75.2	79.5	88.6
GPT-3 (PrefixLayer)	48.3	82.5	85.9	89.6
GPT-3 (LoRA)	63.8	85.6	89.2	91.7

表 16：在使用 GPT-3 175B 的 MNLI 子集上，不同方法的驗證準確率。MNLI- n 描述了一個包含 n 個訓練範例的子集。我們使用完整的驗證集進行評估。與其他方法（包括微調）相比，LoRA 在樣本效率方面表現良好。

具體而言，令 $U_A^{i\top} U_B^j$ 的奇異值為 $\sigma_1, \sigma_2, \dots, \sigma_p$ ，其中 $p = \min\{i, j\}$ 。我們知道投影度量 Ham & Lee (2008) 定義為：

$$d(U_A^i, U_B^j) = \sqrt{p - \sum_{i=1}^p \sigma_i^2} \in [0, \sqrt{p}]$$

超參數	調整	MNLI-100	MNLI-1k	MNLI-10K	MNLI-392K
最佳化器	-			AdamW	
預熱 Token 數	-			250,000	
學習率 排程	-			線性	
批次大小	-	20	20	100	128
# 紀元	-	40	40	4	2
學習率	微調			5.00E-6	
	PrefixEmbed	2.00E-04	2.00E-04	4.00E-04	5.00E-04
	PrefixLayer	5.00E-05	5.00E-05	5.00E-05	1.00E-04
	LoRA			2.00E-4	
Adaptation-Specific	PrefixEmbed l_p	16	32	64	256
	PrefixEmbed l_i			8	
	PrefixTune			$l_p = l_i = 8$	
	LoRA			$r_q = r_v = 8$	

表 17：在 MNLI(m)-n 上，不同 GPT-3 調適方法所使用的超參數。

我們的相似性定義如下：

$$\phi(A, B, i, j) = \psi(U_A^i, U_B^j) = \frac{\sum_{i=1}^p \sigma_i^2}{p} = \frac{1}{p} \left(1 - d(U_A^i, U_B^j)^2 \right)$$

此相似性滿足：若 U_A^i 和 U_B^j 共享相同的欄位範圍，則 $\phi(A, B, i, j) = 1$ 。若它們完全正交，則 $\phi(A, B, i, j) = 0$ 。否則， $\phi(A, B, i, j) \in (0, 1)$ 。

H 額外實驗：低秩矩陣

我們提出關於低秩更新矩陣調查的額外結果。

H.1 LoRA 模組之間的相關性

請參見圖6與圖7，了解圖3與圖4所示結果如何推廣到其他層。

H.2 r 對 GPT-2 的影響

我們在 GPT-2 上重複了有關 r 影響的實驗（見第7.2節）。以 E2E NLG Challenge 資料集為例，我們報告在訓練26,000步後，不同 r 選擇所達到的驗證損失與測試指標。結果列於表18。對於 GPT-2 Medium，最佳秩依據所使用的指標介於4到16之間，這與 GPT-3 175B 的情況相似。值得注意的是，模型大小與調適最佳秩之間的關係仍是未解之謎。

H.3 W 與 ΔW 之間的相關性

參見圖 8，顯示在不同 r 下 W 與 ΔW 之間的正規化子空間相似度。

再次注意， ΔW 並不包含 W 的主要奇異方向，因為 ΔW 中前 4 個方向與 W 中前 10% 方向之間的相似度僅略高於 0.2。這證明 ΔW 包含那些在 W 中並未被強調的「任務專屬」方向，後者在 *not* 一詞中被特別標示。

接下來一個有趣的問題是：我們需要把那些任務特定的指示放大得多“強”，才能讓模型調整順利運作？

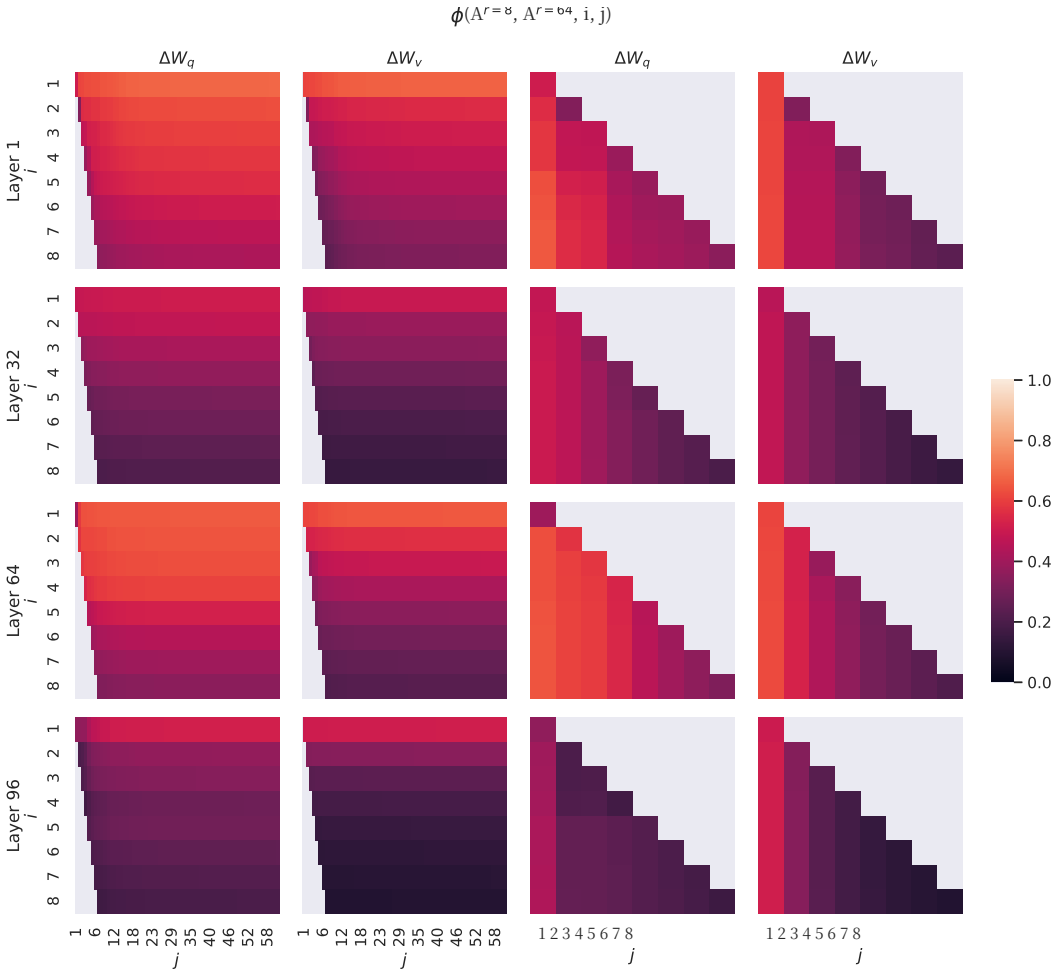


圖 6：在 96 層 Transformer 中，第 1、32、64 和 96 層中 $A_{r=8}$ 與 $A_{r=64}$ 欄向量之間的標準化子空間相似度，分別來自 ΔW_q 與 ΔW_v 。

H.4 放大因子

人們自然會把特徵放大因子視為比率 $\frac{\|\Delta W\|_F}{\|U^\top W V^\top\|_F}$ ，其中 U 和 V 是 ΔW 的 SVD 分解中的左奇異矩陣與右奇異矩陣。（回想 $UU^\top W V^\top V$ 表示將 W 投影到由 ΔW 張成的子空間。）

直觀上，當 ΔW 主要包含與任務相關的方向時，這個量度衡量了這些方向被 ΔW 放大的程度。如第 7.3 節所示，對於 $r = 4$ ，此放大因子可達 20。換句話說（一般而言），在每一層中有大約四個特徵方向（在預訓練模型 W 的整個特徵空間中）需要被非常大的因子 20 放大，才能達到我們報告的下游專門任務的準確度。且可以預期，對每一個不同的下游任務，需要被放大的特徵方向集合會相當不同。

不過可以注意到，對於 $r = 64$ 而言，這個放大因子只有大約 2，表示在 ΔW 中用 $r = 64$ 所學到的大多數方向（*most*）並沒有被大量放大。這其實不令人驚訝，反而再次證明要表示「任務特定方向」（也就是用於模型適應）的內在秩（intrinsic rank）是低的（*needed*）。相比之下， ΔW 的秩為 4 的版本（對應於 $r = 4$ ）中的那些方向被更大的因子約 20 放大。

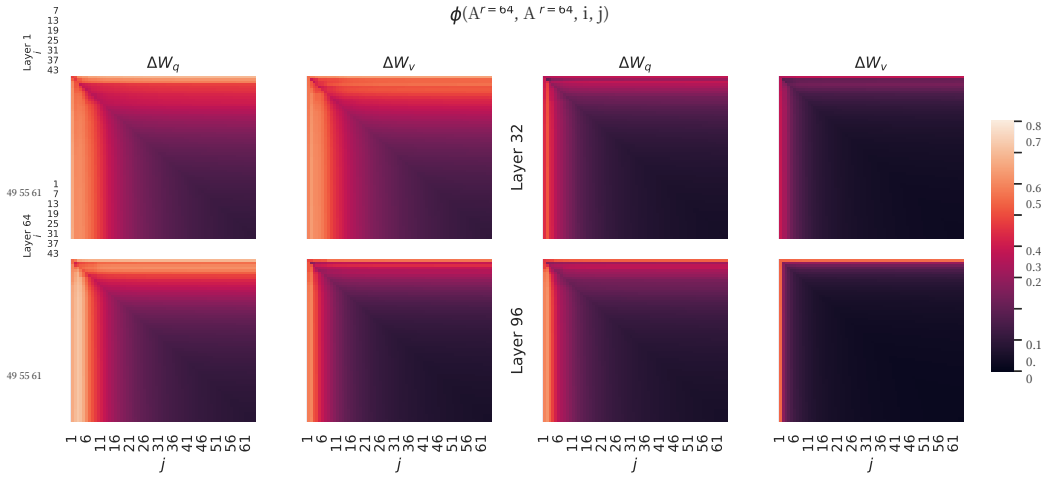


圖 7：來自兩個不同隨機種子執行中 $A_{r=64}$ 欄向量之間的歸一化子空間相似度，針對 96 層 Transformer 中第 1、32、64 和 96 層的 ΔW_q 與 ΔW_v 。

Rank r	驗證損失	BLEU	NIST	METEOR	ROUGE L	CIDEr
1	1.23	68.72	8.7215	0.4565	0.7052	2.4329
2	1.21	69.17	8.7413	0.4590	0.7052	2.4639
4	1.18	70.38	8.8439	0.4689	0.7186	2.5349
8	1.17	69.57	8.7457	0.4636	0.7196	2.5196
16	1.16	69.61	8.7483	0.4629	0.7177	2.4985
32	1.16	69.33	8.7736	0.4642	0.7105	2.5255
64	1.16	69.24	8.7174	0.4651	0.7180	2.5070
128	1.16	68.73	8.6718	0.4628	0.7127	2.5030
256	1.16	68.92	8.6982	0.4629	0.7128	2.5012
512	1.16	68.78	8.6857	0.4637	0.7128	2.5025
1024	1.17	69.37	8.7495	0.4659	0.7149	2.5090

表 18：使用 GPT-2 Medium 並透過不同秩的 LoRA 在 E2E NLG 挑戰中達成的驗證損失與測試集指標。與 GPT-3 在許多任務上 $r = 1$ 即足夠不同，這裡驗證損失在 $r = 16$ 達到最高表現，而 BLEU 則在 $r = 4$ 達到最高，這暗示 GPT-2 Medium 在調適時具有與 GPT-3 175B 類似的內在秩。請注意，我們的一些超參數是在 $r = 4$ 上調整的，該模型的參數量與另一基線相符，因此可能不適用於其他 r 的選擇。

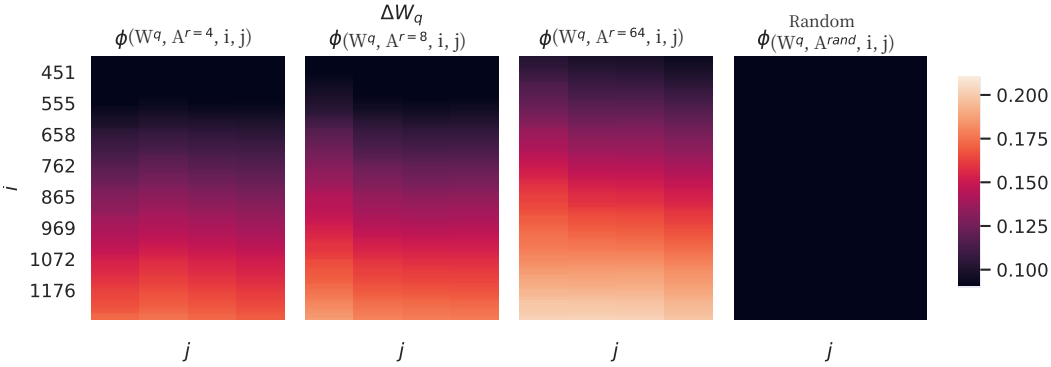


圖 8：在不同 r 下， W_q 的奇異方向與 ΔW_q 的奇異方向之正規化子空間相似度，以及與隨機基線的比較。 ΔW_q 放大了在 W 中重要但未被強調的方向。具有較大 r 的 ΔW 傾向於捕捉到在 W 中已經被強調的更多方向。